



**Бессонов Р.В., Куркина А.Н.,  
Сазонов В.В.**

Определение  
вращательного движения  
космического аппарата по  
измерениям звездного  
датчика и датчика угловой  
скорости

**Рекомендуемая форма библиографической ссылки:** Бессонов Р.В., Куркина А.Н., Сазонов В.В. Определение вращательного движения космического аппарата по измерениям звездного датчика и датчика угловой скорости // Препринты ИПМ им. М.В.Келдыша. 2011. № 17. 27 с.  
URL: <http://library.keldysh.ru/preprint.asp?id=2011-17>

РОССИЙСКАЯ АКАДЕМИЯ НАУК  
Ордена Ленина  
ИНСТИТУТ ПРИКЛАДНОЙ МАТЕМАТИКИ  
им. М.В. Келдыша

**Р.В. Бессонов, А.Н. Куркина, В.В. Сазонов**

**ОПРЕДЕЛЕНИЕ ВРАЩАТЕЛЬНОГО ДВИЖЕНИЯ КОСМИЧЕСКОГО  
АППАРАТА ПО ИЗМЕРЕНИЯМ ЗВЕЗДНОГО ДАТЧИКА И ДАТЧИКА  
УГЛОВОЙ СКОРОСТИ**

Москва – 2011

### Аннотация

Описывается применение фильтра Калмана в задаче определения вращательного движения космического аппарата по измерениям звездного датчика и датчика угловой скорости. Рассмотрены два варианта этой задачи. В первом варианте определение движения выполняется без использования измерений угловой скорости – по одним только измерениям звездного датчика. Во втором варианте существенно используются измерения вектора угловой скорости. Приведены примеры определения реального вращательного движения спутника «Метеор-М».

**R.V. Bessonov, A.N. Kurkina, V.V. Sazonov. Determining a spacecraft attitude motion by measurements of a star sensor and an angular rate sensor.** We describe an application of Kalman's filter in the problem of determining a spacecraft attitude motion by measurements of a star sensor and an angular rate sensor. We consider two variants of this problem. The first variant deals with star sensor measurements solely; the second one uses essentially angular rate measurements. The solutions of these variants are illustrated by examples of determining the real attitude motion of the spacecraft Meteor-M.

## 1. ОПРЕДЕЛЕНИЕ ДВИЖЕНИЯ КА ПО ИЗМЕРЕНИЯМ ЗВЕЗДНОГО ДАТЧИКА

**1.1. Постановка задачи.** Рассматривается вращательное движение КА. Это движение описывается нормированной кватернионной функцией времени  $\mathbf{q}_*(t)$ ,  $\|\mathbf{q}_*(t)\| \equiv 1$ . Кватернион  $\mathbf{q}_*(t)$  задает ориентацию жестко связанной с корпусом КА системы координат  $x_1x_2x_3$  относительно базовой инерциальной системы координат  $X_1X_2X_3$  в момент  $t$ . Формулы перехода от системы  $x_1x_2x_3$  к системе  $X_1X_2X_3$  записываются в кватернионной форме следующим образом

$$(0, X_1, X_2, X_3) = \mathbf{q}_* \circ (0, x_1, x_2, x_3) \circ \mathbf{q}_*^{-1}.$$

Астроизмерительный прибор БОКЗ-М, далее для краткости называемый датчиком, выдает в дискретные моменты времени  $t_k$  ( $k = 1, 2, \dots$ ),  $t_k < t_{k+1}$  «измеренные» значения этой функции  $\mathbf{q}_k \approx \mathbf{q}_*(t_k)$ ,  $\|\mathbf{q}_k\| = 1$ . По данным измерений  $t_k$ ,  $\mathbf{q}_k$  ( $k = n, n-1, n-2, \dots$ ) требуется найти более точную (сглаженную) оценку значения  $\mathbf{q}_*(t_n)$  и сделать прогноз значения  $\mathbf{q}_*(t_{n+1})$ . Решая эту задачу, будем считать, что угловая скорость КА меняется медленно и на отрезках времени  $t_k \leq t \leq t_{k+1}$  ее можно считать постоянной.

**1.2. Параметры Родрига.** Введем удобные для последующего изложения обозначения. Нормированные кватернионы будем выражать в функции модифицированных параметров Родрига [1]. Компоненты произвольного кватерниона  $\mathbf{q} = (q_0, q_1, q_2, q_3)$ ,  $\|\mathbf{q}\| = 1$  представим в виде

$$q_0 = \frac{1 - z_1^2 - z_2^2 - z_3^2}{1 + z_1^2 + z_2^2 + z_3^2}, \quad q_i = \frac{2z_i}{1 + z_1^2 + z_2^2 + z_3^2} \quad (i = 1, 2, 3).$$

Здесь  $z_i$  – параметры Родрига. Для удобства записи такую параметризацию обозначим  $\mathbf{q} = \mathbf{F}(\mathbf{z})$ ,  $\mathbf{z} = (z_1, z_2, z_3)$ .

В общем случае

$$\mathbf{F}(\mathbf{z}_1) \circ \mathbf{F}(\mathbf{z}_2) \neq \mathbf{F}(\mathbf{z}_1 + \mathbf{z}_2), \quad \mathbf{F}(\mathbf{z}_1) \circ \mathbf{F}(\mathbf{z}_2) \neq \mathbf{F}(\mathbf{z}_2) \circ \mathbf{F}(\mathbf{z}_1),$$

но при  $|\mathbf{z}_1| \ll 1$ ,  $|\mathbf{z}_2| \ll 1$  разность  $\mathbf{F}(\mathbf{z}_1) \circ \mathbf{F}(\mathbf{z}_2) - \mathbf{F}(\mathbf{z}_1 + \mathbf{z}_2)$  будет иметь второй порядок малости относительно  $|\mathbf{z}_1|$  и  $|\mathbf{z}_2|$ . Ниже для любых малых  $|\mathbf{z}_1|$  и  $|\mathbf{z}_2|$  принимаем

$$\mathbf{F}(\mathbf{z}_1) \circ \mathbf{F}(\mathbf{z}_2) = \mathbf{F}(\mathbf{z}_1 + \mathbf{z}_2) = \mathbf{F}(\mathbf{z}_2) \circ \mathbf{F}(\mathbf{z}_1).$$

Такое упрощение эквивалентно линеаризации некоторых используемых ниже соотношений. Функцию, обратную функции  $\mathbf{s} = \mathbf{F}(\mathbf{z})$  в окрестности точки  $\mathbf{s} = 1$ , обозначим  $\mathbf{z} = \mathbf{F}^{-1}(\mathbf{s})$ . Эта обратная функция удовлетворяет условию  $\mathbf{F}^{-1}(1) = 0$ . Если  $\mathbf{s} = \mathbf{F}(\mathbf{z})$ , то  $\mathbf{s}^{-1} = \mathbf{F}(-\mathbf{z})$ . Последняя формула является точной.

Абсолютную угловую скорость спутника и ее компоненты в системе  $x_1x_2x_3$  обозначим  $\boldsymbol{\omega}$  и  $\omega_i$  ( $i=1, 2, 3$ ). Справедлива формула [1]

$$(0, \omega_1, \omega_2, \omega_3) = 2\mathbf{q}_*^{-1} \circ \frac{d\mathbf{q}_*}{dt}.$$

Если движение системы  $x_1x_2x_3$  выражено через параметры Родрига  $\mathbf{z}(t)$ , то ее угловую скорость  $\boldsymbol{\omega}(t)$  также можно выразить через эти параметры [1]:

$$\boldsymbol{\omega} = \frac{4}{(1 + \mathbf{z} \cdot \mathbf{z})^2} \left[ (1 - \mathbf{z} \cdot \mathbf{z}) \frac{d\mathbf{z}}{dt} - 2 \left( \mathbf{z} \times \frac{d\mathbf{z}}{dt} \right) + 2 \left( \mathbf{z} \cdot \frac{d\mathbf{z}}{dt} \right) \mathbf{z} \right].$$

Компоненты вектора  $\mathbf{z}$  и определяемого последней формулой вектора  $\boldsymbol{\omega}$  относятся к системе  $x_1x_2x_3$ . Бесконечно малый поворот этой системы вокруг вектора  $\boldsymbol{\theta} = (\theta_1, \theta_2, \theta_3)$  задается кватернионом с параметрами Родрига  $\mathbf{z} = \boldsymbol{\theta}/4$ .

Встречающиеся ниже случайные нормированные кватернионы имеют вид  $\mathbf{q} = \mathbf{p} \circ \mathbf{F}(\boldsymbol{\xi})$ , где  $\mathbf{p}$  – неслучайный нормированный кватернион,  $\boldsymbol{\xi}$  – случайный трехмерный вектор с нулевым средним значением и ковариационной матрицей  $K_\xi$ :  $M\boldsymbol{\xi} = 0$ ,  $K_\xi = M\boldsymbol{\xi}\boldsymbol{\xi}^T$ . При этом  $\text{tr}K_\xi \ll 1$ . В такой ситуации с высокой точностью  $M\mathbf{q} = \mathbf{p}$ , а вектор  $\boldsymbol{\xi}$  можно считать лежащим в касательном пространстве к трехмерной единичной сфере в точке  $\mathbf{p}$ .

**1.3. Вывод соотношений фильтра Калмана.** Пусть КА движется с постоянной угловой скоростью  $\boldsymbol{\omega}$  и в момент  $t_0$  его угловое положение задается кватернионом  $\mathbf{q}_0 = \mathbf{q}_*(t_0)$ . Движение КА в малой окрестности точки  $t_0$  можно представить следующим образом

$$\mathbf{q}_*(t) = \mathbf{q}_0 \circ \mathbf{F}(\mathbf{z}), \quad \mathbf{z} = \frac{1}{4}\boldsymbol{\omega}(t - t_0) + o[(t - t_0)^2].$$

Компоненты векторов  $\mathbf{z}$  и  $\boldsymbol{\omega}$  относятся к системе  $x_1x_2x_3$ . С учетом этой формулы модель движения КА и модель измерений возьмем в виде

$$\mathbf{q}_n = \mathbf{q}_{n-1} \circ \mathbf{F}[\boldsymbol{\mu}_{n-1}(t_n - t_{n-1}) + \boldsymbol{\eta}_n], \quad \boldsymbol{\mu}_n = \boldsymbol{\mu}_{n-1} + \boldsymbol{\zeta}_n, \quad \mathbf{p}_n = \mathbf{q}_n \circ \mathbf{F}(\boldsymbol{\xi}_n). \quad (1)$$

Здесь кватернион  $\mathbf{q}_n = \mathbf{q}_*(t_n)$  и вектор  $\boldsymbol{\mu}_n$  образуют фазовый вектор КА,  $\mathbf{p}_n$  – результат измерения кватерниона  $\mathbf{q}_n$ ,  $\boldsymbol{\xi}_n$  – вектор случайных ошибок измерений,  $(\boldsymbol{\eta}_n, \boldsymbol{\zeta}_n)$  – вектор случайных возмущений в системе. Полагаем, что векторы  $\boldsymbol{\xi}_m$  и  $(\boldsymbol{\eta}_n, \boldsymbol{\zeta}_n)$  некоррелированы при любых значениях  $m$  и  $n$ , векторы  $\boldsymbol{\xi}_m$ ,  $\boldsymbol{\xi}_n$ ,  $\boldsymbol{\eta}_n$ ,  $\boldsymbol{\eta}_m$ ,  $\boldsymbol{\zeta}_m$  и  $\boldsymbol{\zeta}_n$  попарно некоррелированы при любых не равных значениях индексов. Математические ожидания и ковариационные матрицы этих векторов определяются соотношениями

$$\begin{aligned} M\boldsymbol{\xi}_n &= 0, & M\boldsymbol{\eta}_n &= 0, & M\boldsymbol{\zeta}_n &= 0, & M\boldsymbol{\xi}_n\boldsymbol{\xi}_n^T &= K_n, \\ M\boldsymbol{\eta}_n\boldsymbol{\eta}_n^T &= L_{\eta\eta}^{(n)}, & M\boldsymbol{\zeta}_n\boldsymbol{\zeta}_n^T &= L_{\zeta\zeta}^{(n)}, & M\boldsymbol{\zeta}_n\boldsymbol{\eta}_n^T &= L_{\zeta\eta}^{(n)} = \left[ L_{\eta\zeta}^{(n)} \right]^T. \end{aligned}$$

Задача состоит в том, чтобы по данным измерений  $\mathbf{p}_1, \mathbf{p}_2, \dots, \mathbf{p}_n$  найти оценки кватерниона  $\mathbf{q}_n$  и вектора  $\boldsymbol{\mu}_n$ , а также характеристики точности этих оценок. Задача прогноза будет решена попутно. Искомые оценки обозначим  $\hat{\mathbf{q}}_{n/n}, \hat{\boldsymbol{\mu}}_{n/n}$ ; ошибки этих оценок представим в виде:  $\boldsymbol{\varepsilon}_{n/n} = \mathbf{F}^{-1}(\hat{\mathbf{q}}_{n/n}^{-1} \circ \mathbf{q}_n)$ ,  $\tilde{\boldsymbol{\mu}}_{n/n} = \boldsymbol{\mu}_n - \hat{\boldsymbol{\mu}}_{n/n}$ . И оценки, и ошибки представляют собой случайные величины. Алгоритм получения оценок  $\hat{\mathbf{q}}_{n/n}, \hat{\boldsymbol{\mu}}_{n/n}$  будем строить так, чтобы ошибки  $\boldsymbol{\varepsilon}_{n/n}, \tilde{\boldsymbol{\mu}}_{n/n}$  имели нулевые средние значения. В качестве характеристик точности оценок примем ковариационные матрицы

$$P_{n/n} = \mathbf{M}\boldsymbol{\varepsilon}_{n/n}\boldsymbol{\varepsilon}_{n/n}^T, \quad Q_{n/n} = \mathbf{M}\tilde{\boldsymbol{\mu}}_{n/n}\tilde{\boldsymbol{\mu}}_{n/n}^T, \quad R_{n/n} = \mathbf{M}\boldsymbol{\varepsilon}_{n/n}\tilde{\boldsymbol{\mu}}_{n/n}^T.$$

Прогноз величин  $\mathbf{q}_{n+1}, \boldsymbol{\mu}_{n+1}$  по измерениям  $\mathbf{p}_1, \mathbf{p}_2, \dots, \mathbf{p}_n$  обозначим  $\hat{\mathbf{q}}_{n+1/n}, \hat{\boldsymbol{\mu}}_{n+1/n}$ ; ошибки прогноза представим так:  $\boldsymbol{\varepsilon}_{n+1/n} = \mathbf{F}^{-1}(\hat{\mathbf{q}}_{n+1/n}^{-1} \circ \mathbf{q}_{n+1})$ ,  $\tilde{\boldsymbol{\mu}}_{n+1/n} = \boldsymbol{\mu}_{n+1} - \hat{\boldsymbol{\mu}}_{n+1/n}$ . Обеспечим соотношения  $\mathbf{M}\boldsymbol{\varepsilon}_{n+1/n} = \mathbf{0}$ ,  $\mathbf{M}\tilde{\boldsymbol{\mu}}_{n+1/n} = \mathbf{0}$  и точность прогноза будем характеризовать ковариационными матрицами

$$P_{n+1/n} = \mathbf{M}\boldsymbol{\varepsilon}_{n+1/n}\boldsymbol{\varepsilon}_{n+1/n}^T, \quad Q_{n+1/n} = \mathbf{M}\tilde{\boldsymbol{\mu}}_{n+1/n}\tilde{\boldsymbol{\mu}}_{n+1/n}^T, \quad R_{n+1/n} = \mathbf{M}\boldsymbol{\varepsilon}_{n+1/n}\tilde{\boldsymbol{\mu}}_{n+1/n}^T.$$

Пусть оценки  $\hat{\mathbf{q}}_{n/n}, \hat{\boldsymbol{\mu}}_{n/n}$  и матрицы  $P_{n/n}, R_{n/n}, Q_{n/n}$  получены, причем  $\mathbf{M}\boldsymbol{\varepsilon}_{n/n} = \mathbf{0}$ ,  $\mathbf{M}\tilde{\boldsymbol{\mu}}_{n/n} = \mathbf{0}$ . Приведем формулы для величин  $\hat{\mathbf{q}}_{n+1/n}, \hat{\boldsymbol{\mu}}_{n+1/n}, \hat{\mathbf{q}}_{n+1/n+1}, \hat{\boldsymbol{\mu}}_{n+1/n+1}$  и ковариационных матриц их ошибок. Прогноз зададим формулами (ср. (1))

$$\hat{\mathbf{q}}_{n+1/n} = \hat{\mathbf{q}}_{n/n} \circ \mathbf{F}(\Delta t_n \hat{\boldsymbol{\mu}}_{n/n}), \quad \hat{\boldsymbol{\mu}}_{n+1/n} = \hat{\boldsymbol{\mu}}_{n/n}.$$

Здесь  $\Delta t_n = t_{n+1} - t_n$ . Используя последнюю формулу и второе уравнение (1), получим

$$\boldsymbol{\mu}_{n+1} - \hat{\boldsymbol{\mu}}_{n+1/n} = \boldsymbol{\mu}_n - \hat{\boldsymbol{\mu}}_{n/n} + \boldsymbol{\zeta}_{n+1} \quad \text{или} \quad \tilde{\boldsymbol{\mu}}_{n+1/n} = \tilde{\boldsymbol{\mu}}_{n/n} + \boldsymbol{\zeta}_{n+1}.$$

Первое уравнение (1), увеличив в нем индексы на 1, преобразуем так:

$$\begin{aligned} \mathbf{q}_{n+1} &= \mathbf{q}_n \circ \mathbf{F}(\Delta t_n \boldsymbol{\mu}_n + \boldsymbol{\eta}_{n+1}), \\ \mathbf{q}_{n+1} &= \hat{\mathbf{q}}_{n/n} \circ \hat{\mathbf{q}}_{n/n}^{-1} \circ \mathbf{q}_n \circ \mathbf{F}(\Delta t_n \hat{\boldsymbol{\mu}}_{n/n} + \Delta t_n \tilde{\boldsymbol{\mu}}_{n/n} + \boldsymbol{\eta}_{n+1}), \\ \mathbf{q}_{n+1} &= \hat{\mathbf{q}}_{n/n} \circ \mathbf{F}(\boldsymbol{\varepsilon}_{n/n}) \circ \mathbf{F}(\Delta t_n \hat{\boldsymbol{\mu}}_{n/n}) \circ \mathbf{F}(\Delta t_n \tilde{\boldsymbol{\mu}}_{n/n} + \boldsymbol{\eta}_{n+1}), \\ \mathbf{q}_{n+1} &= \hat{\mathbf{q}}_{n/n} \circ \mathbf{F}(\Delta t_n \hat{\boldsymbol{\mu}}_{n/n}) \circ \mathbf{F}(\boldsymbol{\varepsilon}_{n/n}) \circ \mathbf{F}(\Delta t_n \tilde{\boldsymbol{\mu}}_{n/n} + \boldsymbol{\eta}_{n+1}), \\ \mathbf{q}_{n+1} &= \hat{\mathbf{q}}_{n+1/n} \circ \mathbf{F}(\boldsymbol{\varepsilon}_{n/n} + \Delta t_n \tilde{\boldsymbol{\mu}}_{n/n} + \boldsymbol{\eta}_{n+1}), \\ \hat{\mathbf{q}}_{n+1/n}^{-1} \circ \mathbf{q}_{n+1} &\equiv \mathbf{F}(\boldsymbol{\varepsilon}_{n+1/n}) = \mathbf{F}(\boldsymbol{\varepsilon}_{n/n} + \Delta t_n \tilde{\boldsymbol{\mu}}_{n/n} + \boldsymbol{\eta}_{n+1}), \end{aligned}$$

$$\boldsymbol{\varepsilon}_{n+1/n} = \boldsymbol{\varepsilon}_{n/n} + \Delta t_n \tilde{\boldsymbol{\mu}}_{n/n} + \boldsymbol{\eta}_{n+1}.$$

В этих преобразованиях использованы формулы прогноза, малость аргументов функции  $\mathbf{F}(\cdot)$  и формулы, определяющие ошибки. Полученные формулы для ошибок прогноза запишем в виде

$$\begin{Bmatrix} \boldsymbol{\varepsilon}_{n+1/n} \\ \tilde{\boldsymbol{\mu}}_{n+1/n} \end{Bmatrix} = \begin{Bmatrix} E_3 & \Delta t_n E_3 \\ 0 & E_3 \end{Bmatrix} \begin{Bmatrix} \boldsymbol{\varepsilon}_{n/n} \\ \tilde{\boldsymbol{\mu}}_{n/n} \end{Bmatrix} + \begin{Bmatrix} \boldsymbol{\eta}_{n+1} \\ \boldsymbol{\zeta}_{n+1} \end{Bmatrix},$$

где  $E_3$  – единичная матрица третьего порядка. Отсюда следуют равенства  $\mathbf{M}\boldsymbol{\varepsilon}_{n+1/n} = 0$ ,  $\mathbf{M}\tilde{\boldsymbol{\mu}}_{n+1/n} = 0$  и выражение для ковариационных матриц

$$\begin{Bmatrix} P_{n+1/n} & R_{n+1/n} \\ R_{n+1/n}^T & Q_{n+1/n} \end{Bmatrix} = \begin{Bmatrix} E_3 & \Delta t_n E_3 \\ 0 & E_3 \end{Bmatrix} \begin{Bmatrix} P_{n/n} & R_{n/n} \\ R_{n/n}^T & Q_{n/n} \end{Bmatrix} \begin{Bmatrix} E_3 & 0 \\ \Delta t_n E_3 & E_3 \end{Bmatrix} + \begin{Bmatrix} L_{\eta\eta}^{(n+1)} & L_{\eta\zeta}^{(n+1)} \\ L_{\zeta\eta}^{(n+1)} & L_{\zeta\zeta}^{(n+1)} \end{Bmatrix}.$$

Обозначим  $\boldsymbol{\delta}_{n+1} = \mathbf{F}^{-1}(\hat{\mathbf{q}}_{n+1/n}^{-1} \circ \mathbf{p}_{n+1})$  и преобразуем формулу ошибки измерения на шаге  $n+1$  (ср. последнее соотношение (1) после замены  $n \rightarrow n+1$ ):

$$\mathbf{F}(\boldsymbol{\xi}_{n+1}) = \mathbf{q}_{n+1}^{-1} \circ \mathbf{p}_{n+1} = (\hat{\mathbf{q}}_{n+1/n}^{-1} \circ \mathbf{q}_{n+1})^{-1} \circ \hat{\mathbf{q}}_{n+1/n}^{-1} \circ \mathbf{p}_{n+1} = \mathbf{F}(-\boldsymbol{\varepsilon}_{n+1/n}) \circ \mathbf{F}(\boldsymbol{\delta}_{n+1}).$$

Отсюда  $\boldsymbol{\xi}_{n+1} = \boldsymbol{\delta}_{n+1} - \boldsymbol{\varepsilon}_{n+1/n}$ . Следуя методу наименьших квадратов, составим выражение

$$\begin{aligned} \Phi(\boldsymbol{\varepsilon}_{n+1/n}, \tilde{\boldsymbol{\mu}}_{n+1/n}) &= (\boldsymbol{\varepsilon}_{n+1/n} - \boldsymbol{\delta}_{n+1})^T K_{n+1}^{-1} (\boldsymbol{\varepsilon}_{n+1/n} - \boldsymbol{\delta}_{n+1}) + \\ &+ \left\| \boldsymbol{\varepsilon}_{n+1/n}^T, \tilde{\boldsymbol{\mu}}_{n+1/n}^T \right\| \begin{Bmatrix} P_{n+1/n} & R_{n+1/n} \\ R_{n+1/n}^T & Q_{n+1/n} \end{Bmatrix}^{-1} \begin{Bmatrix} \boldsymbol{\varepsilon}_{n+1/n} \\ \tilde{\boldsymbol{\mu}}_{n+1/n} \end{Bmatrix}. \end{aligned}$$

Значения величин  $\boldsymbol{\varepsilon}_{n+1/n}$ ,  $\tilde{\boldsymbol{\mu}}_{n+1/n}$ , доставляющие этому выражению минимум, обозначим  $\boldsymbol{\varepsilon}_{n+1/n}^*$ ,  $\tilde{\boldsymbol{\mu}}_{n+1/n}^*$ . Они определяются линейной системой с правой частью  $\left\| \boldsymbol{\delta}_{n+1}^T K_{n+1}^{-1}, 0 \right\|^T$  и матрицей  $A^T K_{n+1}^{-1} A + B^{-1}$ , где

$$A = \left\| E_3, 0 \right\|, \quad B = \begin{Bmatrix} P_{n+1/n} & R_{n+1/n} \\ R_{n+1/n}^T & Q_{n+1/n} \end{Bmatrix}.$$

Соответствующая обратная матрица задается соотношениями

$$\left( A^T K_{n+1}^{-1} A + B^{-1} \right)^{-1} = B - B A^T S^{-1} A B, \quad S = K_{n+1} + A B A^T,$$

полная форма которых  $S = K_{n+1} + P_{n+1/n}$  и

$$\left( A^T K_{n+1}^{-1} A + B^{-1} \right)^{-1} = \begin{Bmatrix} P_{n+1/n} - P_{n+1/n} S^{-1} P_{n+1/n} & R_{n+1/n} - P_{n+1/n} S^{-1} R_{n+1/n} \\ R_{n+1/n}^T - R_{n+1/n}^T S^{-1} P_{n+1/n} & Q_{n+1/n} - R_{n+1/n}^T S^{-1} R_{n+1/n} \end{Bmatrix}.$$

Отсюда находим формулы для расчета величин  $\boldsymbol{\varepsilon}_{n+1/n}^*$ ,  $\tilde{\boldsymbol{\mu}}_{n+1/n}^*$ :

$$\begin{aligned}\boldsymbol{\varepsilon}_{n+1/n}^* &= (P_{n+1/n} - P_{n+1/n}S^{-1}P_{n+1/n})K_{n+1}^{-1}\boldsymbol{\delta}_{n+1}, \\ \tilde{\boldsymbol{\mu}}_{n+1/n}^* &= (R_{n+1/n}^T - R_{n+1/n}^T S^{-1}P_{n+1/n})K_{n+1}^{-1}\boldsymbol{\delta}_{n+1}.\end{aligned}$$

Непосредственная проверка показывает, что  $(E_3 - S^{-1}P_{n+1/n})K_{n+1}^{-1} = S^{-1}$ , поэтому полученные формулы представимы в виде

$$\boldsymbol{\varepsilon}_{n+1/n}^* = P_{n+1/n}S^{-1}\boldsymbol{\delta}_{n+1}, \quad \tilde{\boldsymbol{\mu}}_{n+1/n}^* = R_{n+1/n}^T S^{-1}\boldsymbol{\delta}_{n+1}.$$

Положим  $\hat{\boldsymbol{\mu}}_{n+1/n+1} = \hat{\boldsymbol{\mu}}_{n+1/n} + \tilde{\boldsymbol{\mu}}_{n+1/n}^*$ ,  $\hat{\boldsymbol{q}}_{n+1/n+1} = \hat{\boldsymbol{q}}_{n+1/n} \circ \mathbf{F}(\boldsymbol{\varepsilon}_{n+1/n}^*)$ . Тогда  $\tilde{\boldsymbol{\mu}}_{n+1/n+1} = \tilde{\boldsymbol{\mu}}_{n+1/n} - \tilde{\boldsymbol{\mu}}_{n+1/n}^*$ . Чтобы найти  $\boldsymbol{\varepsilon}_{n+1/n+1}$ , запишем соотношения

$$\begin{aligned}\mathbf{F}(\boldsymbol{\varepsilon}_{n+1/n+1}) &= \hat{\boldsymbol{q}}_{n+1/n+1}^{-1} \circ \mathbf{q}_{n+1} = (\hat{\boldsymbol{q}}_{n+1/n}^{-1} \circ \hat{\boldsymbol{q}}_{n+1/n+1})^{-1} \circ \hat{\boldsymbol{q}}_{n+1/n}^{-1} \circ \mathbf{q}_{n+1} = \\ &= \mathbf{F}(-\boldsymbol{\varepsilon}_{n+1/n}^*) \circ \mathbf{F}(\boldsymbol{\varepsilon}_{n+1/n}) = \mathbf{F}(\boldsymbol{\varepsilon}_{n+1/n} - \boldsymbol{\varepsilon}_{n+1/n}^*).\end{aligned}$$

Отсюда  $\boldsymbol{\varepsilon}_{n+1/n+1} = \boldsymbol{\varepsilon}_{n+1/n} - \boldsymbol{\varepsilon}_{n+1/n}^*$ . Напомним,  $\boldsymbol{\delta}_{n+1} = \boldsymbol{\varepsilon}_{n+1/n} + \boldsymbol{\xi}_{n+1}$ , поэтому

$$\begin{aligned}\boldsymbol{\varepsilon}_{n+1/n+1} &= \boldsymbol{\varepsilon}_{n+1/n} - P_{n+1/n}S^{-1}\boldsymbol{\delta}_{n+1} = (E_3 - P_{n+1/n}S^{-1})\boldsymbol{\varepsilon}_{n+1/n} - P_{n+1/n}S^{-1}\boldsymbol{\xi}_{n+1}, \\ \tilde{\boldsymbol{\mu}}_{n+1/n+1} &= \tilde{\boldsymbol{\mu}}_{n+1/n} - R_{n+1/n}^T S^{-1}\boldsymbol{\delta}_{n+1} = \tilde{\boldsymbol{\mu}}_{n+1/n} - R_{n+1/n}^T S^{-1}\boldsymbol{\varepsilon}_{n+1/n} - R_{n+1/n}^T S^{-1}\boldsymbol{\xi}_{n+1}.\end{aligned}$$

Из последних соотношений следует, что  $\mathbf{M}\boldsymbol{\varepsilon}_{n+1/n+1} = 0$ ,  $\mathbf{M}\tilde{\boldsymbol{\mu}}_{n+1/n+1} = 0$ . С помощью тех же соотношений получаем

$$\begin{aligned}P_{n+1/n+1} &= \mathbf{M}\boldsymbol{\varepsilon}_{n+1/n+1}\boldsymbol{\varepsilon}_{n+1/n+1}^T = (E_3 - P_{n+1/n}S^{-1})P_{n+1/n}(E_3 - S^{-1}P_{n+1/n}) + \\ &+ P_{n+1/n}S^{-1}K_{n+1}S^{-1}P_{n+1/n} = P_{n+1/n} - 2P_{n+1/n}S^{-1}P_{n+1/n} + \\ &P_{n+1/n}S^{-1}(P_{n+1/n} + K_{n+1})S^{-1}P_{n+1/n} = P_{n+1/n} - P_{n+1/n}S^{-1}P_{n+1/n}.\end{aligned}$$

Здесь использовано равенство  $(P_{n+1/n} + K_{n+1})S^{-1} = E_3$ . Аналогично

$$\begin{aligned}R_{n+1/n+1} &= \mathbf{M}\boldsymbol{\varepsilon}_{n+1/n+1}\tilde{\boldsymbol{\mu}}_{n+1/n+1}^T = (E_3 - P_{n+1/n}S^{-1})R_{n+1/n} - \\ &- (E_3 - P_{n+1/n}S^{-1})P_{n+1/n}S^{-1}R_{n+1/n} + P_{n+1/n}S^{-1}K_{n+1}S^{-1}R_{n+1/n} = \\ &= R_{n+1/n} - 2P_{n+1/n}S^{-1}R_{n+1/n} + P_{n+1/n}S^{-1}(P_{n+1/n} + K_{n+1})S^{-1}R_{n+1/n} = \\ &= R_{n+1/n} - P_{n+1/n}S^{-1}R_{n+1/n},\end{aligned}$$

$$\begin{aligned}Q_{n+1/n+1} &= \mathbf{M}\tilde{\boldsymbol{\mu}}_{n+1/n+1}\tilde{\boldsymbol{\mu}}_{n+1/n+1}^T = Q_{n+1/n} - 2R_{n+1/n}^T S^{-1}R_{n+1/n} + \\ &+ R_{n+1/n}^T S^{-1}P_{n+1/n}S^{-1}R_{n+1/n} + R_{n+1/n}^T S^{-1}K_{n+1}S^{-1}R_{n+1/n} = \\ &= Q_{n+1/n} - 2R_{n+1/n}^T S^{-1}R_{n+1/n} + R_{n+1/n}^T S^{-1}(P_{n+1/n} + K_{n+1})S^{-1}R_{n+1/n} = \\ &= Q_{n+1/n} - R_{n+1/n}^T S^{-1}R_{n+1/n}.\end{aligned}$$

Выпишем с некоторыми изменениями основные полученные формулы. Формулы прогноза:



$$\begin{aligned}\hat{\mathbf{q}}_{n+1/n} &= \hat{\mathbf{q}}_n \circ \mathbf{F}(\Delta t_n \hat{\boldsymbol{\mu}}_{n/n}), & \hat{\boldsymbol{\mu}}_{n+1/n} &= \hat{\boldsymbol{\mu}}_{n/n}, \\ P_{n+1/n} &= P_{n/n} + \Delta t_n (R_{n/n}^T + R_{n/n}) + (\Delta t_n)^2 Q_{n/n} + L_{\eta\eta}^{(n+1)}, \\ R_{n+1/n} &= R_{n/n} + \Delta t_n Q_{n/n} + L_{\eta\zeta}^{(n+1)}, & Q_{n+1/n} &= Q_{n/n} + L_{\zeta\zeta}^{(n+1)}.\end{aligned}$$

Формулы оценивания:

$$\begin{aligned}\hat{\mathbf{q}}_{n+1/n+1} &= \hat{\mathbf{q}}_{n+1/n} \circ \mathbf{F}(\boldsymbol{\varepsilon}_{n+1/n}^*), & \hat{\boldsymbol{\mu}}_{n+1/n+1} &= \hat{\boldsymbol{\mu}}_{n+1/n} + \tilde{\boldsymbol{\mu}}_{n+1/n}^*, \\ \boldsymbol{\varepsilon}_{n+1/n}^* &= P_{n+1/n} \boldsymbol{\lambda}, & \tilde{\boldsymbol{\mu}}_{n+1/n}^* &= R_{n+1/n}^T \boldsymbol{\lambda}, & \boldsymbol{\lambda} &= S^{-1} \mathbf{F}^{-1}(\hat{\mathbf{q}}_{n+1/n}^{-1} \circ \mathbf{p}_{n+1}), \\ S &= K_{n+1} + P_{n+1/n}, & P_{n+1/n+1} &= P_{n+1/n} - P_{n+1/n} S^{-1} P_{n+1/n}, \\ R_{n+1/n+1} &= R_{n+1/n} - P_{n+1/n} S^{-1} R_{n+1/n}, & Q_{n+1/n+1} &= Q_{n+1/n} - R_{n+1/n}^T S^{-1} R_{n+1/n}.\end{aligned}$$

*Замечания.* 1. Если матрицы  $K_n$ ,  $L_{\eta\eta}^{(n)}$ ,  $L_{\eta\zeta}^{(n)}$  и  $L_{\zeta\zeta}^{(n)}$  диагональны при всех  $n$ , матрицы  $P_{1/1}$ ,  $R_{1/1}$  и  $Q_{1/1}$  выбраны диагональными, то матрицы  $P_{n/n}$ ,  $R_{n/n}$ ,  $Q_{n/n}$  и  $P_{n+1/n}$ ,  $R_{n+1/n}$ ,  $Q_{n+1/n}$  также будут диагональными при всех  $n$ . В этом случае выписанные выше формулы по существу распадаются на три экземпляра решения одномерной задачи, исследованной в [2].

2. Поскольку вывод формул данного пункта основан на линеаризации соотношений (1), в полученных формулах можно отбросить члены  $\sim (\Delta t_n)^2$ .

**1.4. Примеры.** Обработаем описанным способом измерения БОКЗ, полученные на спутнике «Метеор-М». Применим этот способ к отрезкам измерений, исследованным в [3]. В данном случае система  $x_1 x_2 x_3$  – это собственная система координат датчика БОКЗ-М. Плоскость  $x_1 x_2$  параллельна плоскости ПЗС-матрицы, ось  $x_3$  направлена от матрицы к объективу датчика. Система  $X_1 X_2 X_3$  – вторая геоэваториальная система координат эпохи даты. Плоскость  $X_1 X_2$  совпадает с плоскостью среднего земного экватора этой эпохи, оси  $X_1$  и  $X_3$  направлены соответственно в точку среднего весеннего равноденствия и северный полюс мира. Ниже используется также строительная система координат спутника  $y_1 y_2 y_3$ . Формулы перехода от системы координат датчика к строительной системе имеют вид

$$y_1 = -x_2, \quad y_2 = x_1 \sin \alpha - x_3 \cos \alpha, \quad y_3 = x_1 \cos \alpha + x_3 \sin \alpha,$$

где  $\alpha = 15^\circ$ . На рассматриваемых отрезках движения спутник находился в орбитальной ориентации; с ошибками около  $1^\circ$  оси  $y_3$  и  $y_2$  были направлены соответственно по геоцентрическому радиусу-вектору центра масс спутника и вектору его орбитального кинетического момента. Измерения датчика выполнялись с постоянным шагом  $t_{n+1} - t_n = H = 3$  с.

Матрицы  $K_n$ ,  $L_{\eta\eta}^{(n)}$ ,  $L_{\eta\zeta}^{(n)}$  и  $L_{\zeta\zeta}^{(n)}$  зададим соотношениями

$$K_n = \text{diag}(\sigma_{a1}^2, \sigma_{a2}^2, \sigma_{a3}^2), \quad L_{\zeta\zeta}^{(n)} = H \text{diag}(\sigma_{\omega1}^2, \sigma_{\omega2}^2, \sigma_{\omega3}^2),$$

$$L_{\eta\zeta}^{(n)} = \frac{H^2}{2} \text{diag}(\sigma_{\omega1}^2, \sigma_{\omega2}^2, \sigma_{\omega3}^2), \quad L_{\eta\eta}^{(n)} = \frac{H^3}{3} \text{diag}(\sigma_{\omega1}^2, \sigma_{\omega2}^2, \sigma_{\omega3}^2),$$

$$\sigma_{a1} = 7'', \quad \sigma_{a2} = 12'', \quad \sigma_{a3} = 36'', \quad \sigma_{\omega1} = \sigma_{\omega2} = 0.8''/\text{с}, \quad \sigma_{\omega3} = 2.4''/\text{с}.$$

На рис. 1а и 2а приведены отклонения данных измерений от результатов фильтрации. Такие отклонения представлены графиками компонент векторов  $4\mathbf{e}_{n/n} = (e_1^{(n)}, e_2^{(n)}, e_3^{(n)})$  в системе координат  $x_1x_2x_3$ . Каждый такой график представляет собой ломаную, звенья которой последовательно соединяют точки  $(t_n, e_i^{(n)})$  ( $n=1, 2, 3, \dots$ ) при соответствующем значении  $i=1, 2, 3$ . В примере на рис. 1 среднеквадратичные значения величин  $e_i^{(n)}$  составляют  $\sigma_1 = 1.14''$ ,  $\sigma_2 = 4.92''$ ,  $\sigma_3 = 8.58''$ . В примере на рис. 2 аналогичные среднеквадратичные значения  $\sigma_1 = 1.49''$ ,  $\sigma_2 = 7.62''$ ,  $\sigma_3 = 11.7''$ . При расчете этих примеров значения параметров  $\sigma_{ai}$  и  $\sigma_{\omega i}$  были выбраны так, чтобы отклонения фильтрации примерно совпадали с ошибками сглаживания в [3]. Как оказалось, величины  $\sigma_i$  зависят от отношений  $\sigma_{ai}/\sigma_{\omega i}$ , а не от конкретных значений параметров  $\sigma_{ai}$  и  $\sigma_{\omega i}$ . От этих параметров зависят ковариационные матрицы оценок, в частности, в рассматриваемых примерах диагональные элементы матриц  $P_{n/n}$  после завершения короткого переходного процесса практически постоянны и несколько превосходят соответствующие величины  $\sigma_{ai}^2$ .

Графики оценок угловой скорости приведены на рис. 1б и 2б. Оценками угловой скорости служат компоненты векторов  $4\hat{\mathbf{u}}_{n/n} = (\omega_1^{(n)}, \omega_2^{(n)}, \omega_3^{(n)})$  в строительной системе координат  $y_1y_2y_3$ . График компоненты с номером  $i=1, 2, 3$  представляет собой ломаную, звенья которой последовательно соединяют точки  $(t_n, \omega_i^{(n)})$  ( $n=1, 2, 3, \dots$ ). Правильнее было бы представлять компоненты угловой скорости графиками кусочно-постоянных функций, однако при выбранном масштабе рисунков разница между указанными способами представления незначительна. На рис. 1в и 2в графики компонент угловой скорости, полученные фильтрацией Калмана, сравниваются с графиками компонент угловой скорости, взятыми из [3] и полученными сглаживанием данных измерений ГИВУСов (ГИВУС – гироскопический измеритель вектора угловой скорости, его измерения относятся к системе  $y_1y_2y_3$ ) с помощью дискретных рядов Фурье. На рисунках последние графики выглядят более гладкими. Как видно из рисунков, совпадение достаточно хорошее, но оценки, полученные с помощью фильтра Калмана, несколько отстают от оценок [3]. На рис. 3 описываемое сравнение повторено, но калмановские оценки смещены на 4 с влево. Совпадение оценок улучшилось.

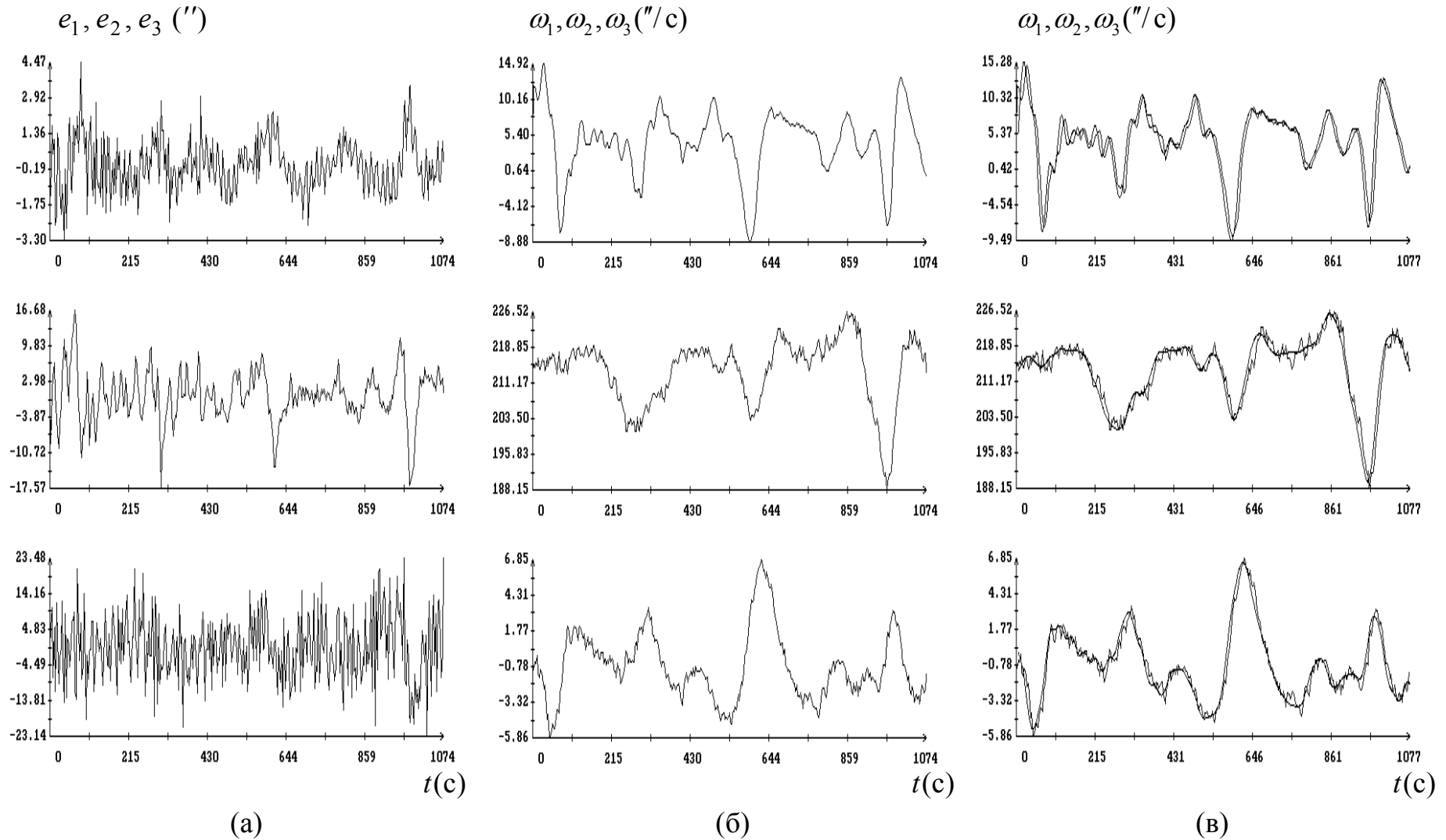


Рис. 1. Обработка данных измерений БОКЗ с помощью фильтра Калмана. Момент  $t=0$  на графиках отвечает 13:22:04 UTC 27.04.2010; (а) компоненты вектора бесконечно малого поворота, выражающего отклонения фильтрации,  $\sigma_1 = 1.14''$ ,  $\sigma_2 = 4.92''$ ,  $\sigma_3 = 8.58''$ ; (б) оценка угловой скорости; (в) оценка угловой скорости и сглаженные значения данных измерений.

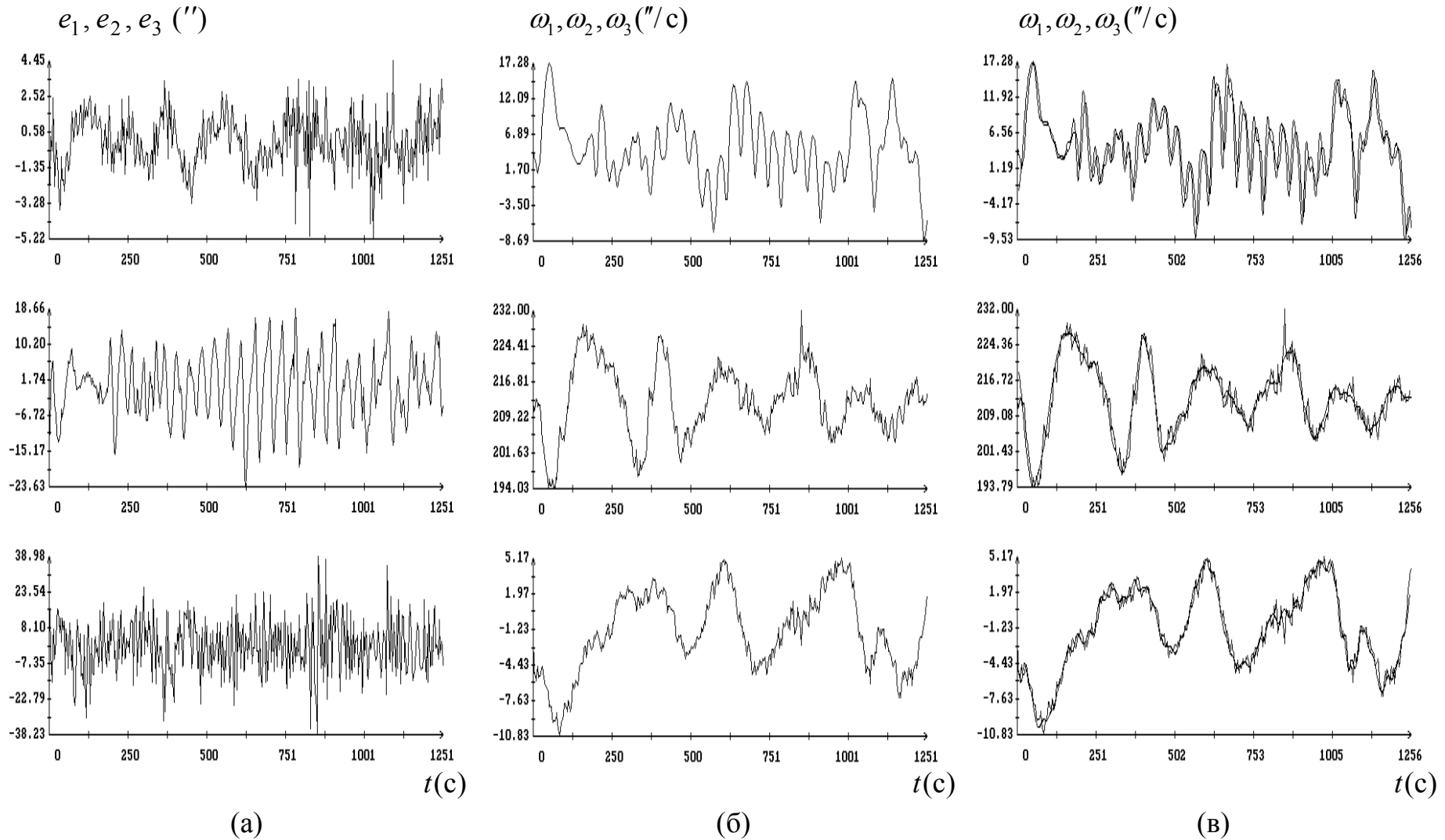


Рис. 2. Обработка данных измерений БОКЗ с помощью фильтра Калмана. Момент  $t=0$  на графиках отвечает 14:43:26 UTC 27.04.2010; (а) компоненты вектора бесконечно малого поворота, выражающего отклонения фильтрации,  $\sigma_1 = 1.49''$ ,  $\sigma_2 = 7.62''$ ,  $\sigma_3 = 11.7''$ ; (б) оценка угловой скорости; (в) оценка угловой скорости и сглаженные значения данных измерений.

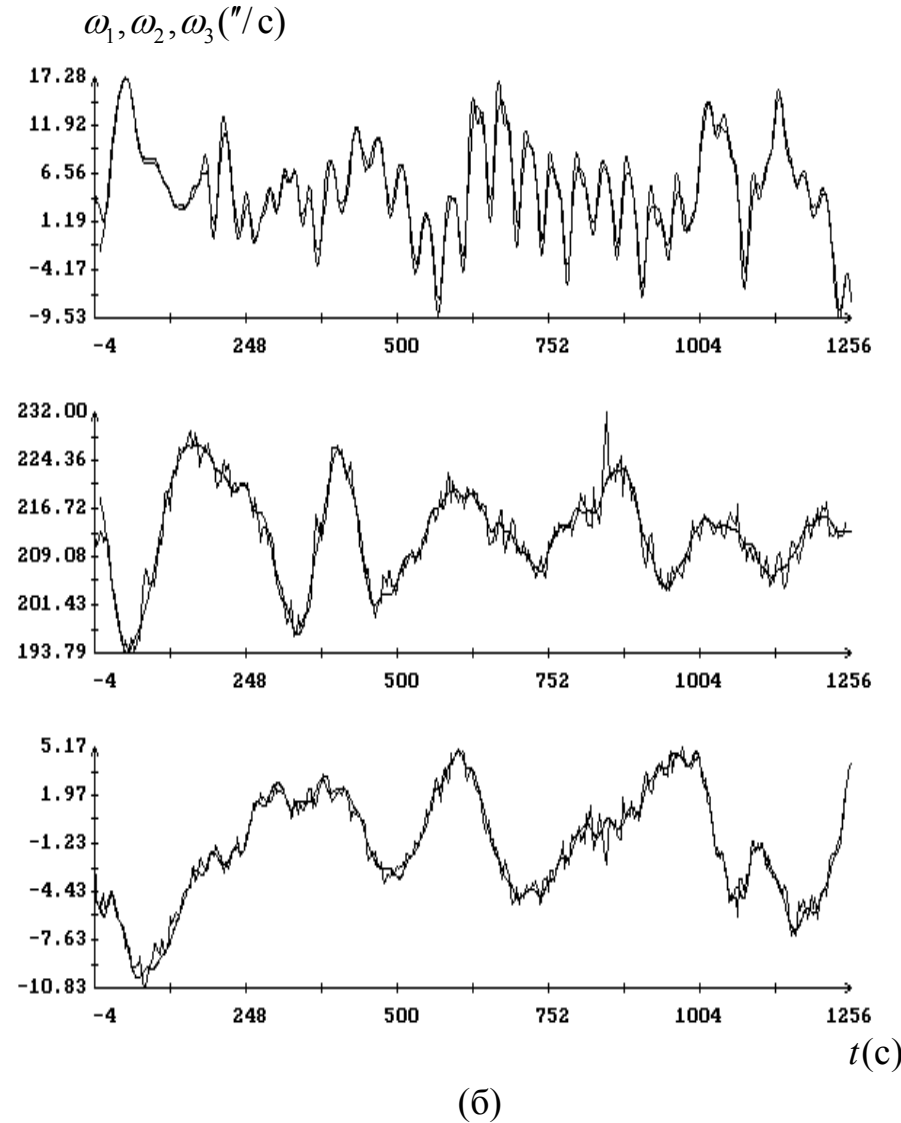
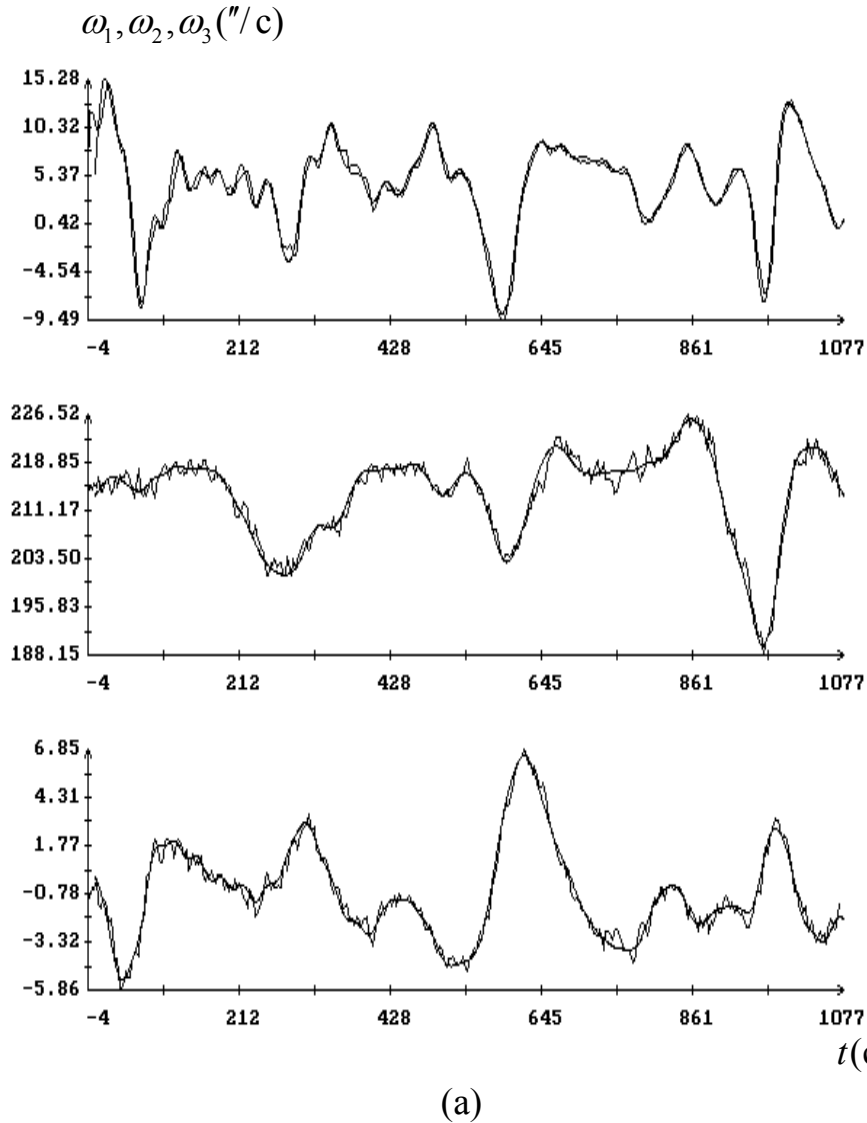


Рис. 3. Оценки угловой скорости, полученные фильтрацией измерений БОКЗ и сглаженные измерения угловой скорости; момент  $t = 0$  соответствует: на графиках (а) – 13:22:04 UTC 27.04.2010, на графиках – (б) 14:43:26 UTC 27.04.2010. Результаты фильтрации сдвинуты на 4 с влево (вперед по времени).

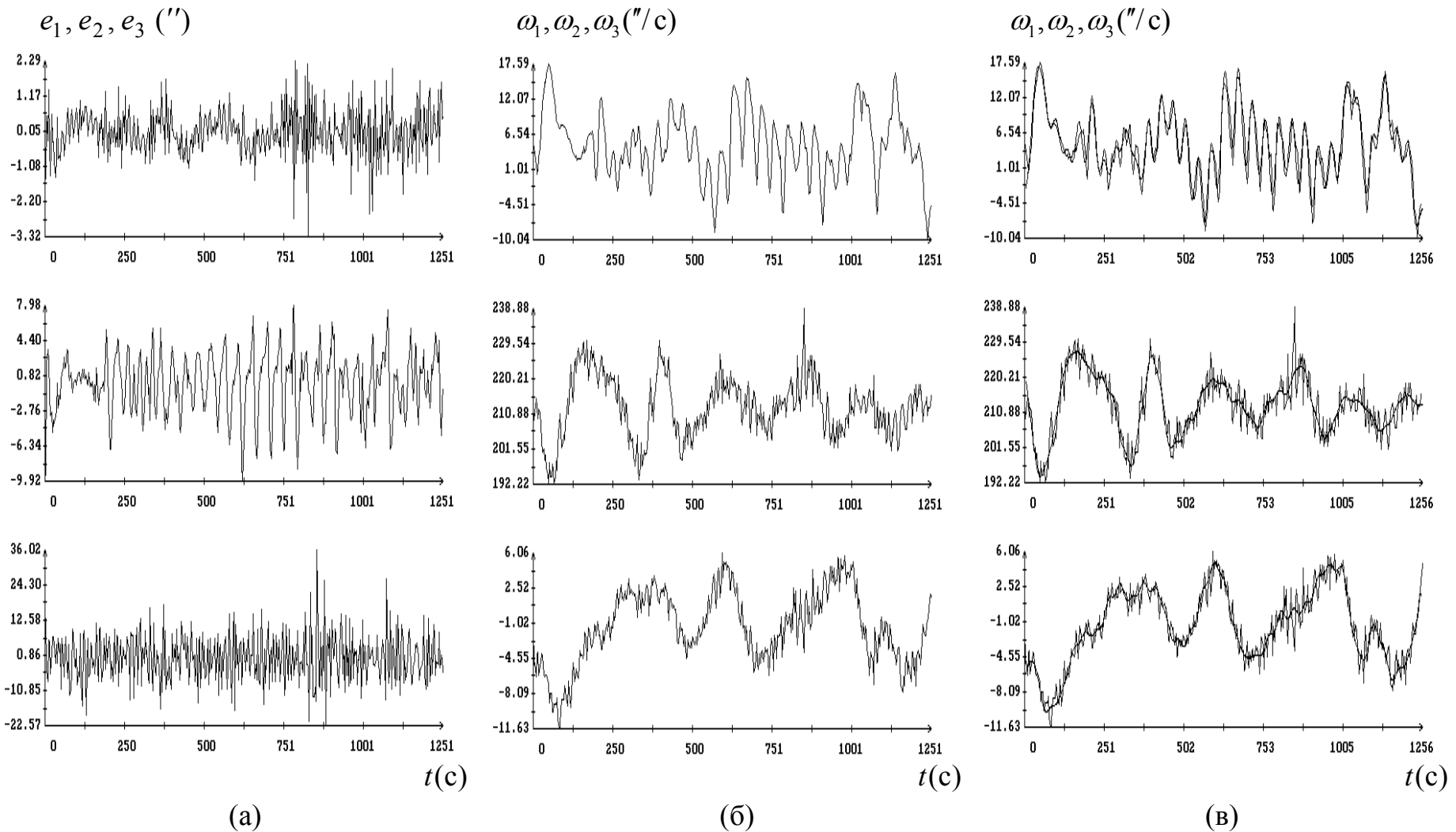


Рис. 4. Обработка данных измерений БОКЗ с помощью фильтра Калмана. Момент  $t=0$  на графиках отвечает 14:43:26 UTC 27.04.2010; (а) компоненты вектора бесконечно малого поворота, выражающего отклонения фильтрации,  $\sigma_1 = 0.76''$ ,  $\sigma_2 = 3.14''$ ,  $\sigma_3 = 7.81''$ ; (б) оценка угловой скорости; (в) оценка угловой скорости и сглаженные значения данных измерений.

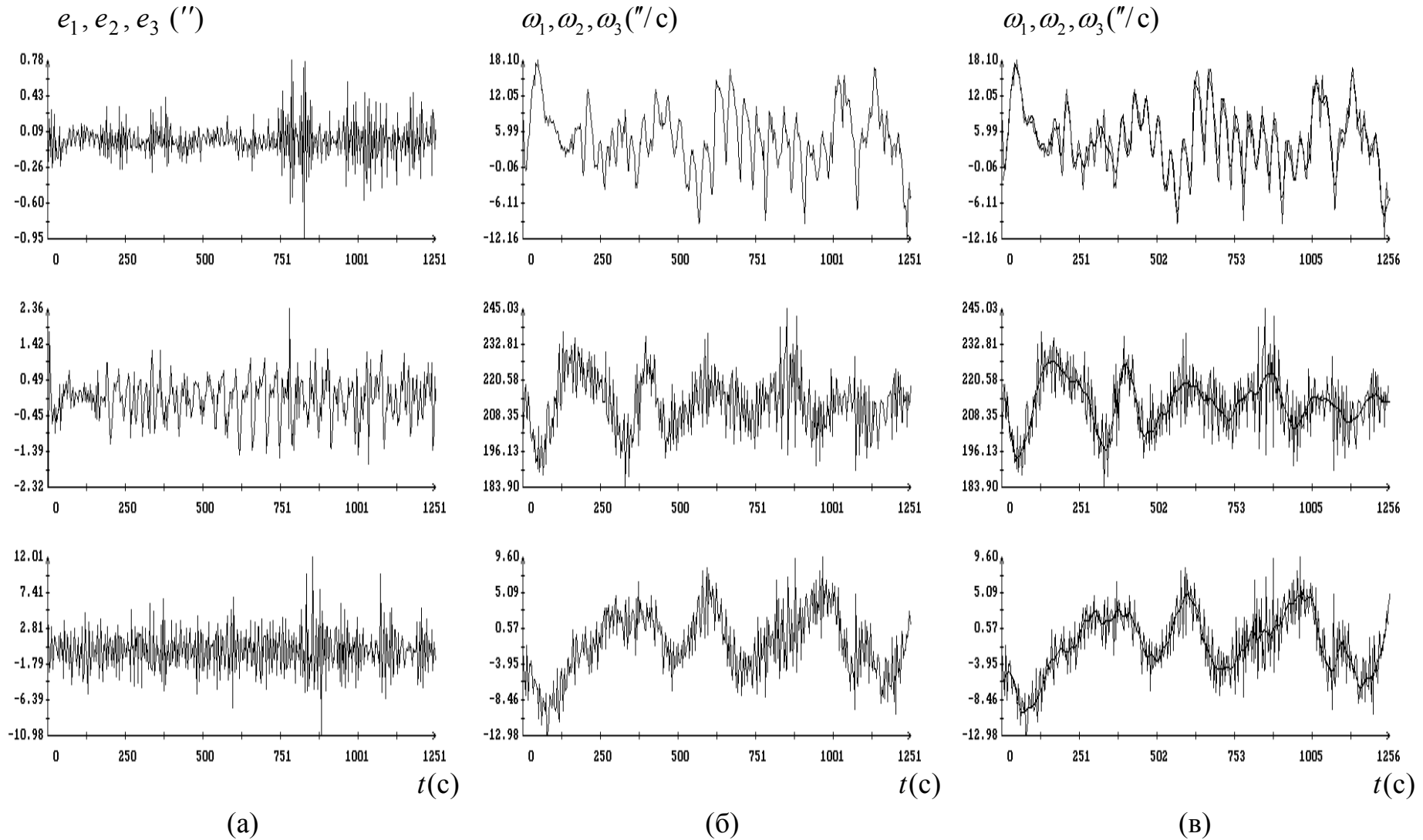


Рис. 5. Обработка данных измерений БОКЗ с помощью фильтра Калмана. Момент  $t=0$  на графиках отвечает 14:43:26 UTC 27.04.2010; (а) компоненты вектора бесконечно малого поворота, выражающего отклонения фильтрации,  $\sigma_1 = 0.19''$ ,  $\sigma_2 = 0.58''$ ,  $\sigma_3 = 2.83''$ ; (б) оценка угловой скорости; (в) оценка угловой скорости и сглаженные значения данных измерений.

На рис. 4, 5 приведены варианты обработки данных, представленных на рис. 2, при другом выборе параметров  $\sigma_{\omega i}$ . Параметры  $\sigma_{ai}$  оставлены прежние. Вариант на рис. 4 получен при  $\sigma_{\omega 1} = \sigma_{\omega 2} = 2''/с$ ,  $\sigma_{\omega 3} = 6''/с$ . Здесь  $\sigma_1 = 0.76''$ ,  $\sigma_2 = 3.14''$ ,  $\sigma_3 = 7.81''$ . В варианте на рис. 5  $\sigma_{\omega 1} = \sigma_{\omega 2} = 8''/с$ ,  $\sigma_{\omega 3} = 24''/с$ ,  $\sigma_1 = 0.19''$ ,  $\sigma_2 = 0.58''$ ,  $\sigma_3 = 2.83''$ . Эти рисунки иллюстрируют влияние на результаты обработки параметров  $\sigma_{\omega i}$ , точнее, отношений  $\sigma_{ai}/\sigma_{\omega i}$ . В новых вариантах запаздывание оценок угловой скорости практически исчезло.

## 2. ОПРЕДЕЛЕНИЕ ДВИЖЕНИЯ КА ПО ИЗМЕРЕНИЯМ ЗВЕЗДНОГО ДАТЧИКА И ДАТЧИКА УГЛОВОЙ СКОРОСТИ

**2.1. Численное интегрирование кинематических уравнений движения КА.** Пусть дополнительно к измерениям кватерниона  $\mathbf{q}$  имеются измерения компонент угловой скорости КА в системе  $x_1x_2x_3$ , заданные на временной сетке  $\{t'_k\}$ . Будем считать, что измерение, приписываемое моменту  $t'_k$ , реально относится к моменту  $t'_{k-0.5} = (t'_k + t'_{k-1})/2$  и что узлы сетки  $\{t'_k\}$  расположены существенно чаще узлов сетки  $\{t_n\}$  с измерениями звездного датчика.

Математическую модель вращательного движения КА построим на базе кинематических уравнений, которым должна удовлетворять функция  $\mathbf{q}_*(t)$ . Эти уравнения имеют вид

$$\begin{aligned} 2 \frac{dq_0}{dt} &= -\omega'_1 q_1 - \omega'_2 q_2 - \omega'_3 q_3, & 2 \frac{dq_1}{dt} &= \omega'_1 q_0 + \omega'_3 q_2 - \omega'_2 q_3, \\ 2 \frac{dq_2}{dt} &= \omega'_2 q_0 + \omega'_1 q_3 - \omega'_3 q_1, & 2 \frac{dq_3}{dt} &= \omega'_3 q_0 + \omega'_2 q_1 - \omega'_1 q_2. \end{aligned} \quad (1)$$

Здесь  $\omega'_i = \omega_i + \Delta_i$  ( $i=1,2,3$ ),  $\Delta_i$  – постоянные величины, которые рассматриваем как возможные смещения в телеметрических данных  $\boldsymbol{\omega}(t'_{k-0.5})$ . Система (1) допускает интегральное соотношение  $q_0^2 + q_1^2 + q_2^2 + q_3^2 = 1$ , поэтому кватернион  $\mathbf{q}_*(t)$ , определяемый как решение уравнений (1), будет нормированным, если он нормирован в начальной точке.

Уравнения (1) можно записать в кватернионной форме

$$\frac{d\mathbf{q}}{dt} = \frac{1}{2} \mathbf{q} \circ \boldsymbol{\omega}', \quad \boldsymbol{\omega}' = (\omega'_1, \omega'_2, \omega'_3). \quad (1')$$

При умножении кватерниона на вектор последний считается чисто мнимым кватернионом.

Разностную схему для интегрирования уравнений (1) построим так. Проинтегрируем левую и правую части уравнения (1') по времени на отрезке  $[t'_k, t'_{k+1}]$ , считая его решение известным. Получим (ради удобства ниже везде пишем  $\boldsymbol{\omega}$  вместо  $\boldsymbol{\omega}'$ )



$$\mathbf{q}(t'_{k+1}) - \mathbf{q}(t'_k) = \frac{1}{2} \int_{t'_k}^{t'_{k+1}} \mathbf{q}(t) \circ \boldsymbol{\omega}(t) dt.$$

Для гладких решений уравнения (1') имеем (ср. формулу трапеций)

$$\int_{t'_k}^{t'_{k+1}} \mathbf{q}(t) \circ \boldsymbol{\omega}(t) dt = \frac{h_k}{2} [\mathbf{q}(t'_{k+1}) + \mathbf{q}(t'_k)] \circ \boldsymbol{\omega}(t'_{k+0.5}) + O(h_k^3), \quad h_k = t'_{k+1} - t'_k,$$

поэтому с погрешностью  $O(h_k^3)$  можно записать

$$\mathbf{q}(t'_{k+1}) - \mathbf{q}(t'_k) = \frac{h_k}{4} [\mathbf{q}(t'_{k+1}) + \mathbf{q}(t'_k)] \circ \boldsymbol{\omega}(t'_{k+0.5}).$$

Отсюда находим

$$\mathbf{q}(t'_{k+1}) = \mathbf{q}(t'_k) \circ \boldsymbol{\kappa}_k,$$

$$\boldsymbol{\kappa}_k = \left( 1, \frac{h_k \boldsymbol{\omega}(t'_{k+0.5})}{4} \right) \circ \left( 1, -\frac{h_k \boldsymbol{\omega}(t'_{k+0.5})}{4} \right)^{-1} = \mathbf{F} \left[ \frac{h_k \boldsymbol{\omega}(t'_{k+0.5})}{4} \right].$$

В силу свойств функции  $\mathbf{F}$  имеем  $|\boldsymbol{\kappa}_k| = 1$ , следовательно, полученная разностная схема сохраняет нормировку кватерниона.

**2.2. Вывод соотношений фильтра Калмана.** Разностную схему предыдущего пункта, несколько изменив обозначения и учтя постоянное смещение в измерениях угловой скорости, запишем в виде

$$\mathbf{q}_{k+1} = \mathbf{q}_k \circ \mathbf{F} \left( \frac{1}{4} h_k \boldsymbol{\omega}_{k+0.5} \right). \quad (2)$$

Здесь  $\mathbf{q}_k = \mathbf{q}(t'_k)$ ,  $\boldsymbol{\omega}_{k+0.5} = \boldsymbol{\omega}_{k+0.5}^G + \boldsymbol{\Delta}$ ,  $\boldsymbol{\omega}_{k+0.5}^G$  – измеренное значение угловой скорости, доступное в момент  $t'_{k+1}$ , но реально относящееся к моменту  $t'_{k+0.5}$ ,  $\boldsymbol{\Delta}$  – постоянное смещение в данных измерений. Поскольку сетка  $\{t'_k\}$  предполагается достаточно мелкой, ошибки дискретизации при использовании уравнения (2) учитывать не будем.

Чтобы на базе выписанных соотношений построить фильтр Калмана, надо учесть в них случайные возмущения и ошибки. Опишем модель ошибок (ср. [4]). Во-первых, данные измерений помимо систематической ошибки, выражаемой величиной  $\boldsymbol{\Delta}$ , имеют случайную ошибку. Примем, что эта ошибка имеет нулевое среднее значение. Во-вторых, величина  $\boldsymbol{\Delta}$  в действительности не является постоянной. Она медленно меняется со временем, и это изменение при определении движения КА на продолжительном промежутке времени необходимо учитывать.

Наличие указанных ошибок приводит к тому, что в уравнение (2) надо подставлять не величину  $\boldsymbol{\omega}_{k+0.5} = \boldsymbol{\omega}_{k+0.5}^G + \boldsymbol{\Delta}$ , а величину

$$\boldsymbol{\omega}_{k+0.5} = \boldsymbol{\omega}_{k+0.5}^G + \boldsymbol{\Delta}_{k+0.5} + \mathbf{b}_{k+0.5} + \boldsymbol{\eta}_{k+0.5}. \quad (3)$$

Здесь  $\Delta_{k+0.5}$  – оценка величины  $\Delta(t'_k)$ ,  $\mathbf{b}_{k+0.5}$  – ошибка оценки  $\Delta_{k+0.5}$  (истинное значение  $\Delta(t'_k) = \Delta_{k+0.5} + \mathbf{b}_{k+0.5}$ ),  $\boldsymbol{\eta}_{k+0.5}$  – случайная ошибка в измерении  $\omega_{k+0.5}^G$ . Величины  $\mathbf{b}_{k+0.5}$  и  $\Delta_{k+0.5}$  при подходящем значении  $k$  уточняются сразу после прихода измерения от звездного датчика. Моменты получения этих измерений, как уже говорилось, образуют временную сетку  $\{t_n\}$ , шаг которой намного крупнее шага сетки  $\{t'_k\}$ . На участках сетки  $\{t'_k\}$ , расположенных между узлами сетки  $\{t_n\}$ , примем соотношения

$$\Delta_{k+0.5} = \Delta_{k-0.5}, \quad \mathbf{b}_{k+0.5} = \mathbf{b}_{k-0.5} + \boldsymbol{\zeta}_{k-0.5}. \quad (4)$$

Полагаем, что векторы  $\boldsymbol{\eta}_{k+0.5}$ ,  $\boldsymbol{\eta}_{j+0.5}$ ,  $\boldsymbol{\zeta}_{k+0.5}$  и  $\boldsymbol{\zeta}_{j+0.5}$  попарно некоррелированы при любых  $k \neq j$ . Математические ожидания и ковариационные матрицы этих векторов определяются соотношениями

$$\begin{aligned} M\boldsymbol{\eta}_{k+0.5} &= 0, & M\boldsymbol{\zeta}_{k+0.5} &= 0, & M\boldsymbol{\eta}_{k+0.5}\boldsymbol{\eta}_{k+0.5}^T &= L_{\eta\eta}^{(k+0.5)}, \\ M\boldsymbol{\zeta}_{k+0.5}\boldsymbol{\zeta}_{k+0.5}^T &= L_{\zeta\zeta}^{(k+0.5)}, & M\boldsymbol{\zeta}_{k+0.5}\boldsymbol{\eta}_{k+0.5}^T &= L_{\zeta\eta}^{(k+0.5)} = \left[ L_{\eta\zeta}^{(k+0.5)} \right]^T. \end{aligned}$$

Прогноз движения КА на участках сетки  $\{t'_k\}$  между узлами сетки  $\{t_n\}$  и расчет ошибки такого прогноза выполняется следующим образом. Оценку кватерниона  $\mathbf{q}_k$  обозначим  $\hat{\mathbf{q}}_k$ . Ошибка этой оценки выражается вектором  $\boldsymbol{\varepsilon}_k = \mathbf{F}^{-1}(\hat{\mathbf{q}}_k^{-1} \circ \mathbf{q}_k)$ . Получим рекуррентные формулы для величин  $\hat{\mathbf{q}}_k$  и  $\boldsymbol{\varepsilon}_k$ . В уравнение (2) подставим соотношение (3) и сделаем преобразования:

$$\begin{aligned} \mathbf{q}_{k+1} &= \hat{\mathbf{q}}_k \circ \hat{\mathbf{q}}_k^{-1} \circ \mathbf{q}_k \circ \mathbf{F} \left[ \frac{h_k}{4} (\omega_{k+0.5}^G + \Delta_{k+0.5} + \mathbf{b}_{k+0.5} + \boldsymbol{\eta}_{k+0.5}) \right], \\ \mathbf{q}_{k+1} &= \hat{\mathbf{q}}_k \circ \mathbf{F}(\boldsymbol{\varepsilon}_k) \circ \mathbf{F} \left[ \frac{h_k}{4} (\omega_{k+0.5}^G + \Delta_{k+0.5}) \right] \circ \mathbf{F} \left[ \frac{h_k}{4} (\mathbf{b}_{k+0.5} + \boldsymbol{\eta}_{k+0.5}) \right], \\ \mathbf{q}_{k+1} &= \hat{\mathbf{q}}_k \circ \mathbf{F} \left[ \frac{h_k}{4} (\omega_{k+0.5}^G + \Delta_{k+0.5}) \right] \circ \mathbf{F}(\boldsymbol{\varepsilon}_k) \circ \mathbf{F} \left[ \frac{h_k}{4} (\mathbf{b}_{k+0.5} + \boldsymbol{\eta}_{k+0.5}) \right], \\ \mathbf{q}_{k+1} &= \hat{\mathbf{q}}_k \circ \mathbf{F} \left[ \frac{h_k}{4} (\omega_{k+0.5}^G + \Delta_{k+0.5}) \right] \circ \mathbf{F} \left[ \boldsymbol{\varepsilon}_k + \frac{h_k}{4} (\mathbf{b}_{k+0.5} + \boldsymbol{\eta}_{k+0.5}) \right]. \end{aligned}$$

Формулы прогноза возьмем в виде

$$\hat{\omega}_{k+0.5} = \omega_{k+0.5}^G + \Delta_{k+0.5}, \quad \hat{\mathbf{q}}_{k+1} = \hat{\mathbf{q}}_k \circ \mathbf{F} \left( \frac{1}{4} h_k \hat{\omega}_{k+0.5} \right). \quad (5)$$

Тогда преобразованное уравнение (2) перейдет в уравнение

$$\mathbf{q}_{k+1} = \hat{\mathbf{q}}_{k+1} \circ \mathbf{F} \left[ \boldsymbol{\varepsilon}_k + \frac{h_k}{4} (\mathbf{b}_{k+0.5} + \boldsymbol{\eta}_{k+0.5}) \right].$$

В силу этого уравнения

$$\mathbf{F}(\boldsymbol{\varepsilon}_{k+1}) = \hat{\mathbf{q}}_{k+1}^{-1} \circ \mathbf{q}_{k+1} = \mathbf{F} \left[ \boldsymbol{\varepsilon}_k + \frac{h_k}{4} (\mathbf{b}_{k+0.5} + \boldsymbol{\eta}_{n+0.5}) \right],$$

$$\boldsymbol{\varepsilon}_{k+1} = \boldsymbol{\varepsilon}_k + \frac{h_k}{4} (\mathbf{b}_{k+0.5} + \boldsymbol{\eta}_{n+0.5}).$$

Последнее уравнение объединим со вторым уравнением (4), индексы в котором увеличим на 1, получим

$$\begin{Bmatrix} \boldsymbol{\varepsilon}_{k+1} \\ \mathbf{b}_{k+1.5} \end{Bmatrix} = \begin{Bmatrix} E_3 & h_k E_3/4 \\ 0 & E_3 \end{Bmatrix} \begin{Bmatrix} \boldsymbol{\varepsilon}_k \\ \mathbf{b}_{k+0.5} \end{Bmatrix} + \begin{Bmatrix} h_k E_3/4 & 0 \\ 0 & E_3 \end{Bmatrix} \begin{Bmatrix} \boldsymbol{\eta}_{k+0.5} \\ \boldsymbol{\zeta}_{k+0.5} \end{Bmatrix}. \quad (6)$$

Соотношение (6) описывает распространение ошибки прогноза, задаваемого уравнениями (5) вместе с первым уравнением (4). В силу этого соотношения для средних значений ошибок  $\boldsymbol{\varepsilon}_k$ ,  $\mathbf{b}_{k+0.5}$  имеют место рекуррентные формулы

$$\mathbf{M}\boldsymbol{\varepsilon}_{k+1} = \mathbf{M}\boldsymbol{\varepsilon}_k + \frac{h_k}{4} \mathbf{M}\mathbf{b}_{k+0.5}, \quad \mathbf{M}\mathbf{b}_{k+1.5} = \mathbf{M}\mathbf{b}_{k+0.5}.$$

Для момента  $t'_l$ , следующим непосредственно за моментом прихода измерения от звездного датчика, следует принять (см. ниже)  $\mathbf{M}\boldsymbol{\varepsilon}_l = 0$ ,  $\mathbf{M}\mathbf{b}_{l+0.5} = 0$ . Отсюда  $\mathbf{M}\boldsymbol{\varepsilon}_k = 0$ ,  $\mathbf{M}\mathbf{b}_{k+0.5} = 0$  при всех  $k$ .

Введем ковариационные матрицы ошибок прогноза

$$P_k = \mathbf{M}\boldsymbol{\varepsilon}_k \boldsymbol{\varepsilon}_k^\top, \quad R_k = \mathbf{M}\boldsymbol{\varepsilon}_k \mathbf{b}_{k+0.5}^\top, \quad Q_k = \mathbf{M}\mathbf{b}_{k+0.5} \mathbf{b}_{k+0.5}^\top.$$

С помощью соотношения (6) для расчета этих матриц получаем рекуррентную формулу

$$\begin{aligned} \begin{Bmatrix} P_{k+1} & R_{k+1} \\ R_{k+1}^\top & Q_{k+1} \end{Bmatrix} &= \begin{Bmatrix} E_3 & h_k E_3/4 \\ 0 & E_3 \end{Bmatrix} \begin{Bmatrix} P_k & R_k \\ R_k^\top & Q_k \end{Bmatrix} \begin{Bmatrix} E_3 & 0 \\ h_k E_3/4 & E_3 \end{Bmatrix} + \\ &+ \begin{Bmatrix} h_k E_3/4 & 0 \\ 0 & E_3 \end{Bmatrix} \begin{Bmatrix} L_{\eta\eta}^{(k+0.5)} & L_{\eta\zeta}^{(k+0.5)} \\ L_{\zeta\eta}^{(k+0.5)} & L_{\zeta\zeta}^{(k+0.5)} \end{Bmatrix} \begin{Bmatrix} h_k E_3/4 & 0 \\ 0 & E_3 \end{Bmatrix}. \end{aligned} \quad (7)$$

Эта формула описывает рост ошибки прогноза (5) между измерениями звездного датчика.

Перейдем к обработке измерения, полученного от звездного датчика. Пусть это измерение пришло в момент  $t_n \in [t'_m, t'_{m+1})$  и выражается кватернионом  $\mathbf{p}_n$ . Модель ошибки измерения представим формулой (см. п. 1.1)

$$\mathbf{p}_n = \mathbf{q}_*(t_n) \circ \mathbf{F}(\boldsymbol{\xi}_n),$$

где  $\boldsymbol{\xi}_n$  – случайный вектор, имеющий нулевое среднее значение, ковариационную матрицу  $K_n$  и некоррелированный с векторами  $\boldsymbol{\eta}_{k+0.5}$ ,  $\boldsymbol{\zeta}_{k+0.5}$  при любом  $k$

и векторами  $\xi_l$  при  $l \neq n$ . Прогноз кватерниона  $\mathbf{q}_*(t_n)$  получим линейной интерполяцией по кватернионам  $\hat{\mathbf{q}}_m$  и  $\hat{\mathbf{q}}_{m+1}$ :

$$\hat{\mathbf{q}}_{m+\mu} = (1 - \mu)\hat{\mathbf{q}}_m + \mu\hat{\mathbf{q}}_{m+1}, \quad \mu = \frac{t_n - t'_m}{h_m}.$$

Ошибку такого прогноза определим формулой  $\boldsymbol{\varepsilon}_{m+\mu} = \mathbf{F}^{-1}[\hat{\mathbf{q}}_{m+\mu}^{-1} \circ \mathbf{q}_*(t_n)]$ . Наряду с этой ошибкой будем рассматривать ошибку  $\mathbf{b}_{m+\mu+0.5} = \Delta(t_n) - \Delta_{m+0.5}$ .

Среднее значение вектора  $\|\boldsymbol{\varepsilon}_{m+\mu}^\top, \mathbf{b}_{m+\mu+0.5}^\top\|^\top$  и его ковариационную матрицу получим линейной интерполяцией этих величин для векторов  $\|\boldsymbol{\varepsilon}_m^\top, \mathbf{b}_{m+0.5}^\top\|^\top$  и  $\|\boldsymbol{\varepsilon}_{m+1}^\top, \mathbf{b}_{m+1.5}^\top\|^\top$ . Среднее значение – нулевое, а матрицу обозначим

$$\begin{vmatrix} P_{m+\mu} & R_{m+\mu} \\ R_{m+\mu}^\top & Q_{m+\mu} \end{vmatrix}.$$

Положим  $\boldsymbol{\delta}_n = F^{-1}(\hat{\mathbf{q}}_{m+\mu}^{-1} \circ \mathbf{p}_n)$ . Поскольку

$$\mathbf{F}(\xi_n) = \mathbf{q}_*^{-1}(t_n) \circ \mathbf{p}_n = [\hat{\mathbf{q}}_{m+\mu}^{-1} \circ \mathbf{q}_*(t_n)]^{-1} \circ \hat{\mathbf{q}}_{m+\mu}^{-1} \circ \mathbf{p}_n = \mathbf{F}^{-1}(\boldsymbol{\varepsilon}_{m+\mu}) \circ \mathbf{F}(\boldsymbol{\delta}_n),$$

имеем  $\xi_n = \boldsymbol{\delta}_n - \boldsymbol{\varepsilon}_{m+\mu}$ . Следуя методу наименьших квадратов, составим выражение

$$\begin{aligned} \Phi(\boldsymbol{\varepsilon}_{m+\mu}, \mathbf{b}_{m+\mu+0.5}) &= (\boldsymbol{\varepsilon}_{m+\mu} - \boldsymbol{\delta}_n)^\top K_n^{-1} (\boldsymbol{\varepsilon}_{m+\mu} - \boldsymbol{\delta}_n) + \\ &+ \|\boldsymbol{\varepsilon}_{m+\mu}^\top, \mathbf{b}_{m+\mu+0.5}^\top\| \begin{vmatrix} P_{m+\mu} & R_{m+\mu} \\ R_{m+\mu}^\top & Q_{m+\mu} \end{vmatrix}^{-1} \begin{vmatrix} \boldsymbol{\varepsilon}_{m+\mu} \\ \mathbf{b}_{m+\mu+0.5} \end{vmatrix}. \end{aligned}$$

Значения величин  $\boldsymbol{\varepsilon}_{m+\mu}$  и  $\mathbf{b}_{m+\mu+0.5}$ , доставляющие этому выражению минимум, обозначим  $\boldsymbol{\varepsilon}_{m+\mu}^*$ ,  $\mathbf{b}_{m+\mu+0.5}^*$ . Формулы для этих величин выводятся точно также, как формулы, задающие точку минимума аналогичной квадратичной формы в п. 1.3. Эти формулы имеют вид

$$\boldsymbol{\varepsilon}_{m+\mu}^* = P_{m+\mu} S^{-1} \boldsymbol{\delta}_n, \quad \mathbf{b}_{m+\mu+0.5}^* = R_{m+\mu}^\top S^{-1} \boldsymbol{\delta}_n, \quad S = K_n + P_{m+\mu}.$$

Положим  $\mathbf{q}_{m+\mu}^\circ = \hat{\mathbf{q}}_{m+\mu} \circ \mathbf{F}(\boldsymbol{\varepsilon}_{m+\mu}^*)$ . Это – уточненная оценка кватерниона  $\mathbf{q}_*(t_n)$ . Ошибка этой оценки  $\boldsymbol{\varepsilon}_{m+\mu}^\circ$  определяется соотношениями

$$\begin{aligned} \mathbf{F}(\boldsymbol{\varepsilon}_{m+\mu}^\circ) &= (\mathbf{q}_{m+\mu}^\circ)^{-1} \circ \mathbf{q}_*(t_n) = (\hat{\mathbf{q}}_{m+\mu}^{-1} \circ \mathbf{q}_{m+\mu}^\circ)^{-1} \circ \hat{\mathbf{q}}_{m+\mu}^{-1} \circ \mathbf{q}_*(t_n) = \\ &= \mathbf{F}^{-1}(\boldsymbol{\varepsilon}_{m+\mu}^*) \circ \mathbf{F}(\boldsymbol{\varepsilon}_{m+\mu}). \end{aligned}$$

Отсюда  $\boldsymbol{\varepsilon}_{m+\mu}^\circ = \boldsymbol{\varepsilon}_{m+\mu} - \boldsymbol{\varepsilon}_{m+\mu}^*$ . Смещение  $\Delta(t_n)$  можно представить в виде  $\Delta(t_n) = \Delta_{m+0.5} + \mathbf{b}_{m+\mu+0.5}$ . Новая оценка этого смещения  $\Delta_{m+0.5} + \mathbf{b}_{m+\mu+0.5}^*$ , но-

вое значение ошибки смещения  $\mathbf{b}_{m+\mu+0.5}^\circ = \mathbf{b}_{m+\mu+0.5} - \mathbf{b}_{m+\mu+0.5}^*$ . Поскольку  $\boldsymbol{\delta}_n = \boldsymbol{\varepsilon}_{m+\mu} + \boldsymbol{\xi}_n$ , справедливы соотношения

$$\begin{aligned}\boldsymbol{\varepsilon}_{m+\mu}^\circ &= \boldsymbol{\varepsilon}_{m+\mu} - P_{m+\mu} S^{-1} \boldsymbol{\delta}_n = (E_3 - P_{m+\mu} S^{-1}) \boldsymbol{\varepsilon}_{m+\mu} - P_{m+\mu} S^{-1} \boldsymbol{\xi}_n, \\ \mathbf{b}_{m+\mu+0.5}^\circ &= \mathbf{b}_{m+\mu+0.5} - R_{m+\mu}^\Gamma S^{-1} \boldsymbol{\delta}_n = \mathbf{b}_{m+\mu+0.5} - R_{m+\mu}^\Gamma S^{-1} \boldsymbol{\varepsilon}_{m+\mu} - R_{m+\mu}^\Gamma S^{-1} \boldsymbol{\xi}_n.\end{aligned}$$

Из последних соотношений следуют равенства  $M\boldsymbol{\varepsilon}_{m+\mu}^\circ = 0$ ,  $M\mathbf{b}_{m+\mu+0.5}^\circ = 0$ . С помощью тех же соотношений получаем (ср. п. 1.3)

$$\begin{aligned}P_{m+\mu}^\circ &= M\boldsymbol{\varepsilon}_{m+\mu}^\circ (\boldsymbol{\varepsilon}_{m+\mu}^\circ)^\Gamma = P_{m+\mu} - P_{m+\mu} S^{-1} P_{m+\mu}, \\ R_{m+\mu}^\circ &= M\boldsymbol{\varepsilon}_{m+\mu}^\circ (\mathbf{b}_{m+\mu+0.5}^\circ)^\Gamma = R_{m+\mu} - P_{m+\mu} S^{-1} R_{m+\mu}, \\ Q_{m+\mu}^\circ &= M\mathbf{b}_{m+\mu+0.5}^\circ (\mathbf{b}_{m+\mu+0.5}^\circ)^\Gamma = Q_{m+\mu} - R_{m+\mu}^\Gamma S^{-1} R_{m+\mu}\end{aligned}$$

Величины  $\mathbf{q}_{m+\mu}^\circ$ ,  $P_{m+\mu}^\circ$ ,  $R_{m+\mu}^\circ$ ,  $Q_{m+\mu}^\circ$  с помощью линейной экстраполяции пересчитаем в точку  $t'_{m+1}$ :

$$\mathbf{q}_{m+1}^\circ = \mathbf{q}_{m+\mu}^\circ + (1 - \mu)(\hat{\mathbf{q}}_{m+1} - \hat{\mathbf{q}}_m), \quad P_{m+1}^\circ = P_{m+\mu}^\circ + (1 - \mu)(P_{m+1} - P_m) \quad \text{и т. д.}$$

Положим  $\Delta_{m+1.5}^\circ = \Delta_{m+0.5} + \mathbf{b}_{m+\mu+0.5}^*$ . Величины  $\mathbf{q}_{m+\mu}^\circ$ ,  $\Delta_{m+1.5}^\circ$  и  $P_{m+\mu}^\circ$ ,  $R_{m+\mu}^\circ$ ,  $Q_{m+\mu}^\circ$  рассматриваем в качестве начальных условий для вычислений по рекуррентным формулам (5), (7) и первой формулы (4).

Матрицы  $P_{m+\mu}^\circ$ ,  $R_{m+\mu}^\circ$ ,  $Q_{m+\mu}^\circ$  суть ковариационные матрицы случайных величин  $\boldsymbol{\varepsilon}_{m+1}^\circ$  и  $\mathbf{b}_{m+1.5}^\circ$ , являющихся ошибками оценок  $\mathbf{q}_{m+\mu}^\circ$ ,  $\Delta_{m+1.5}^\circ$ . По способу получения указанных оценок можно заключить, что их ошибки представляют собой однородные линейные комбинации величин  $\boldsymbol{\varepsilon}_{m+\mu}^\circ$ ,  $\mathbf{b}_{m+\mu+0.5}^\circ$  и некоторых других случайных величин с нулевыми средними значениями (ср. (6)). Отсюда следует, что  $M\boldsymbol{\varepsilon}_{m+1}^\circ = 0$ ,  $M\mathbf{b}_{m+1.5}^\circ = 0$ .

Выпишем с небольшими изменениями основные полученные формулы. Формулы прогноза на участке между измерениями звездного датчика:

$$\begin{aligned}\hat{\boldsymbol{\omega}}_{k+0.5} &= \boldsymbol{\omega}_{k+0.5}^G + \Delta_{k+0.5}, \quad \hat{\mathbf{q}}_{k+1} = \hat{\mathbf{q}}_k \circ \mathbf{F} \left( \frac{1}{4} h_k \hat{\boldsymbol{\omega}}_{k+0.5} \right), \quad \Delta_{k+1.5} = \Delta_{k+0.5}, \\ P_{k+1} &= P_k + \frac{h_k}{4} (R_k^\Gamma + R_k) + \frac{h_k^2}{16} [Q_k + L_{\eta\eta}^{(k+0.5)}], \\ R_{k+1} &= R_k + \frac{h_k}{4} [Q_k + L_{\eta\zeta}^{(k+0.5)}], \quad Q_{k+1} = Q_k + L_{\zeta\zeta}^{(k+0.5)}.\end{aligned}$$

Формулы обработки измерения звездного датчика, выполненного в момент  $t_n \in [t'_m, t'_{m+1})$ , и расчета начальных условий для прогноза из точки  $t'_{m+1}$ :

$$\begin{aligned}
\hat{\mathbf{q}}_{m+\mu} &= \hat{\mathbf{q}}_m + \mu(\hat{\mathbf{q}}_{m+1} - \hat{\mathbf{q}}_m), & P_{m+\mu} &= P_m + \mu(P_{m+1} - P_m), \\
R_{m+\mu} &= R_m + \mu(R_{m+1} - R_m), & Q_{m+\mu} &= Q_m + \mu(Q_{m+1} - Q_m), & \mu &= \frac{t_n - t'_m}{h_m}, \\
\mathbf{q}_{m+\mu}^\circ &= \hat{\mathbf{q}}_{m+\mu} \circ \mathbf{F}(\boldsymbol{\varepsilon}_{m+\mu}^*), & \Delta_{m+1.5}^\circ &= \Delta_{m+0.5} + \mathbf{b}_{m+\mu+0.5}^*, \\
\boldsymbol{\varepsilon}_{m+\mu}^* &= P_{m+\mu} \boldsymbol{\lambda}, & \mathbf{b}_{m+\mu+0.5}^* &= R_{m+\mu}^\top \boldsymbol{\lambda}, & \boldsymbol{\lambda} &= S^{-1} \mathbf{F}^{-1}(\hat{\mathbf{q}}_{m+\mu}^{-1} \circ \mathbf{p}_n), \\
S &= K_n + P_{m+\mu}, & P_{m+\mu}^\circ &= P_{m+\mu} - P_{m+\mu} S^{-1} P_{m+\mu}, \\
R_{m+\mu}^\circ &= R_{m+\mu} - P_{m+\mu} S^{-1} R_{m+\mu}, & Q_{m+\mu}^\circ &= Q_{m+\mu} - R_{m+\mu}^\top S^{-1} R_{m+\mu}, \\
\hat{\mathbf{q}}_{m+1}^\circ &= \hat{\mathbf{q}}_{m+\mu}^\circ + (1 - \mu)(\hat{\mathbf{q}}_{m+1} - \hat{\mathbf{q}}_m), & P_{m+1}^\circ &= P_{m+\mu}^\circ + (1 - \mu)(P_{m+1} - P_m), \\
R_{m+1}^\circ &= R_{m+\mu}^\circ + (1 - \mu)(R_{m+1} - R_m), & Q_{m+1}^\circ &= Q_{m+\mu}^\circ + (1 - \mu)(Q_{m+1} - Q_m).
\end{aligned}$$

Разгон описанного алгоритма опишем для случая  $t'_1 \leq t_1$ . Пусть  $t_1 \in [t'_m, t'_{m+1})$  и  $m > 1$ . Сначала на отрезке  $[t'_1, t'_{m+1}]$  вычисления выполняются по формулам (5) с начальным условием  $\hat{\mathbf{q}}_1 = (1, 0, 0, 0)$  при  $\Delta_{k+0.5} = 0$ . Затем вычисляется величина  $\hat{\mathbf{q}}_{m+\mu}$ , и полученные значения  $\hat{\mathbf{q}}_k$  умножаются на  $\mathbf{p}_1 \circ \hat{\mathbf{q}}_{m+\mu}^{-1}$ . Тем самым получен отрезок решения уравнения (2) в случае  $\Delta = 0$  с начальным условием  $\mathbf{q}(t_1) = \mathbf{p}_1$ . Значение этого решения в точке  $t'_{m+1}$  обозначим  $\hat{\mathbf{q}}_{m+1}^\circ$ . Из точки  $t'_{m+1}$  вычисления продолжаются по формулам прогноза с начальными условиями  $\hat{\mathbf{q}}_{m+1} = \hat{\mathbf{q}}_{m+1}^\circ$ ,  $\Delta_{m+1.5} = 0$ ,  $P_{m+1} = L_{\eta\eta}^{(m+0.5)}$ ,  $R_{m+1} = L_{\eta\zeta}^{(m+0.5)}$ ,  $Q_{m+1} = L_{\zeta\zeta}^{(m+0.5)}$ . Далее используется основной алгоритм.

*Замечания.* 1. Линейную интерполяцию и экстраполяцию при вычислении величин  $(\dots)_{m+\mu}$ ,  $(\dots)_{m+1}^\circ$  можно заменить более точными, однако в приводимых ниже примерах линейные соотношения приемлемы. При вычислении величин  $(\dots)_{m+1}^\circ$  используются те же коэффициенты при времени в формулах линейной интерполяции, что и при вычислении величин  $(\dots)_{m+\mu}$ . На самом деле эти коэффициенты должны быть другими вследствие уточнения оценки смещения  $\Delta$ . В приводимых ниже примерах указанное изменение этих коэффициентов пренебрежимо мало.

При  $t_n = t'_m$  формулы обработки измерения звездного датчика упрощаются – нет необходимости в интерполяции и экстраполяции.

2. Если матрицы  $K_n$ ,  $L_{\eta\eta}^{(k+0.5)}$ ,  $L_{\eta\zeta}^{(k+0.5)}$  и  $L_{\zeta\zeta}^{(k+0.5)}$  диагональны при всех  $n$  и  $k$ , матрицы  $P_1$ ,  $R_1$  и  $Q_1$  выбраны диагональными, то матрицы  $P_k$ ,  $R_k$ ,  $Q_k$  и т. п. также будут диагональными при всех  $k$ .

3. Поскольку вывод формул данного пункта основан на линеаризации уравнения (2), в полученных формулах можно отбросить члены  $\sim h_k^2$ .

**2.3. Примеры.** Ниже приводятся результаты обработки описанным способом данных измерений звездного датчика БОКЗ-М и ГИВУСов, полученных на спутнике «Метеор-М». Способ применяется к отрезкам данных, исследованным выше. В качестве измерений  $\omega(t'_{k-0.5})$  служат комбинации реальных измерений  $[\omega(t'_k) + \omega(t'_{k-1})]/2$ , компоненты которых пересчитаны из системы  $y_1 y_2 y_3$  в систему  $x_1 x_2 x_3$ . Измерения ГИВУСов выполнялись с постоянным шагом  $h_k = h = 0.1$  с. Результаты представлены на рис. 6 – 9. Рис. 6 и 8 получены при использовании матриц  $K_n$ ,  $L_{\eta\eta}^{(k+0.5)}$ ,  $L_{\eta\zeta}^{(k+0.5)}$  и  $L_{\zeta\zeta}^{(k+0.5)}$ , заданных соотношениями

$$K_n = \text{diag}[(1'')^2, (1'')^2, (3'')^2],$$

$$L_{\eta\eta}^{(k+0.5)} = L_{\zeta\zeta}^{(k+0.5)} = (1'')^2 \cdot E_3, \quad L_{\eta\zeta}^{(k+0.5)} = h \cdot (1'')^2 \cdot E_3.$$

При расчете примеров на рис. 7, 9 матрицы  $L_{\eta\zeta}^{(k+0.5)}$  и  $L_{\zeta\zeta}^{(k+0.5)}$  были изменены:

$$L_{\zeta\zeta}^{(k+0.5)} = (0.1'')^2 \cdot E_3, \quad L_{\eta\zeta}^{(k+0.5)} = h \cdot (1'') \cdot (0.1'') \cdot E_3.$$

На рис. 6а, 7а, 8а и 9а приведены отклонения кватернионов, измеренных БОКЗом, от соответствующих прогнозных кватернионов. Отклонения представлены графиками компонент векторов  $4\mathbf{e}_{m+\mu}^* = (\tilde{e}_1^{(n)}, \tilde{e}_2^{(n)}, \tilde{e}_3^{(n)})$  в системе координат  $x_1 x_2 x_3$  (напомним, здесь  $t$  является функцией  $n$ ). Каждый такой график представляет собой ломаную, звенья которой последовательно соединяют точки  $(t_n, \tilde{e}_i^{(n)})$  ( $n = 1, 2, 3, \dots$ ) при соответствующем значении  $i = 1, 2, 3$ . Среднеквадратичные значения величин  $\tilde{e}_i^{(n)}$  ( $n = 1, 2, \dots$ ) обозначим  $\tilde{\sigma}_i$ . Эти значения приведены в подписях к рисункам.

На рис. 6б, 7б, 8б и 9б приведены отклонения кватернионов, измеренных БОКЗом, от кватернионов, полученных фильтрацией. Отклонения представлены графиками компонент векторов  $4\mathbf{e}_{m+\mu}^\circ = (e_1^{(n)}, e_2^{(n)}, e_3^{(n)})$  в системе координат  $x_1 x_2 x_3$ . Каждый график представляет собой ломаную с вершинами в точках  $(t_n, e_i^{(n)})$  ( $n = 1, 2, 3, \dots$ ) при одном из значений  $i = 1, 2, 3$ . Среднеквадратичные значения величин  $e_i^{(n)}$  обозначены  $\sigma_i$  и указаны в подписях к рисункам. В данном случае усреднение проводилось по отрезкам соответствующих последовательностей при  $n > 10$ , чтобы исключить влияние переходного процесса. Как и должно быть, во всех примерах  $\sigma_i < \tilde{\sigma}_i$ . Однако в примерах на рис. 7, 9 различие между этими величинами заметно больше, чем в примерах на рис. 6, 8. Этот эффект объясняется выбором ковариационных матриц  $L_{\eta\zeta}^{(k+0.5)}$  и  $L_{\zeta\zeta}^{(k+0.5)}$ .

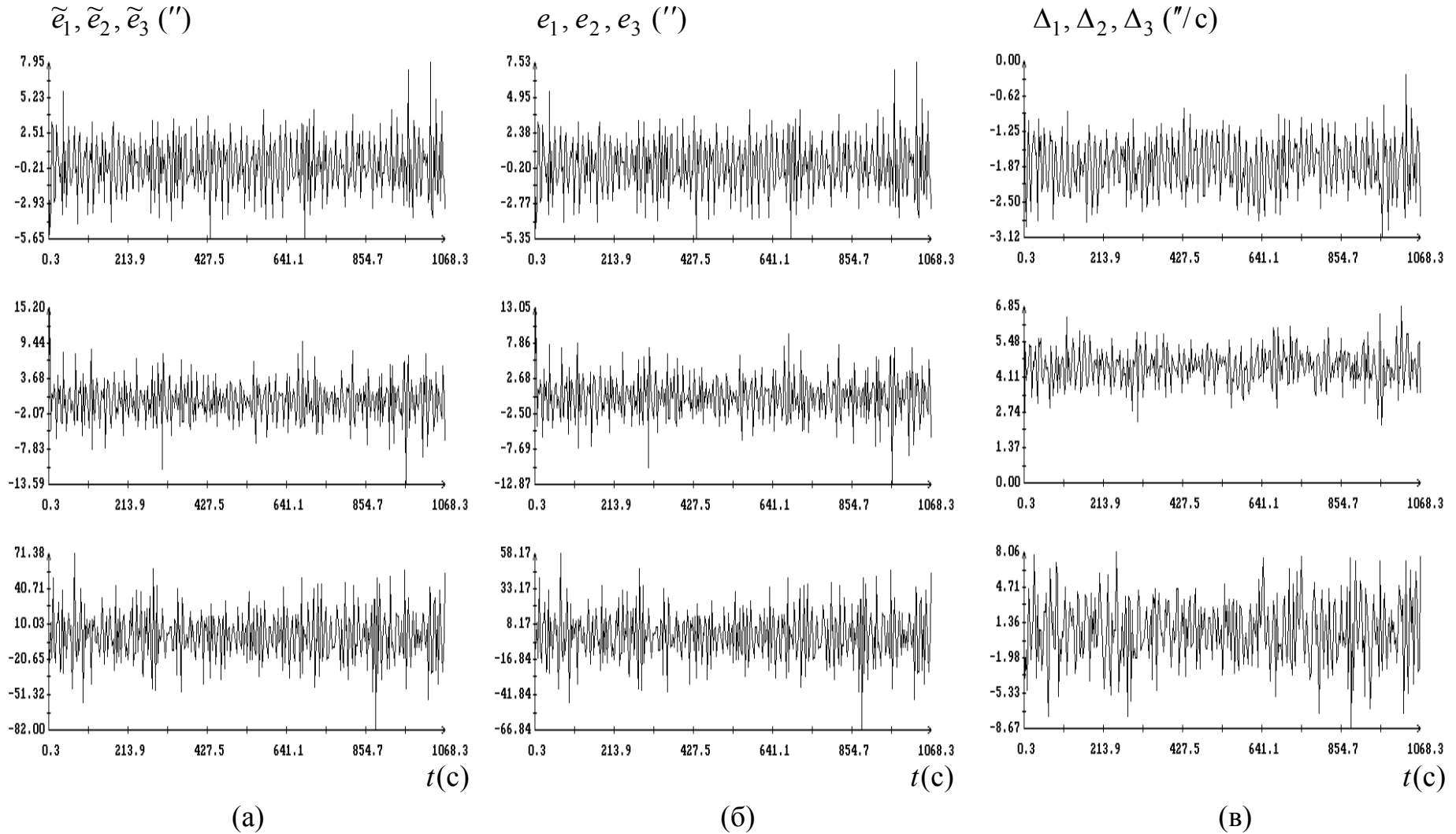


Рис. 6. Обработка данных измерений БОКЗа и ГИВУСов с помощью фильтра Калмана. Момент  $t = 0$  на графиках отвечает 13:22:09.7 UTC 27.04.2010; (а) отклонения прогноза,  $\tilde{\sigma}_1 = 2.16''$ ,  $\tilde{\sigma}_2 = 3.49''$ ,  $\tilde{\sigma}_3 = 22.9''$ ; (б) отклонения фильтрации  $\sigma_1 = 2.02''$ ,  $\sigma_2 = 3.22''$ ,  $\sigma_3 = 18.6''$ ; (в) оценки «постоянных» смещений в измерениях угловой скорости,  $\bar{\Delta}_1 = -1.84''/c$ ,  $\bar{\Delta}_2 = 4.50''/c$ ,  $\bar{\Delta}_3 = 0.56''/c$ .



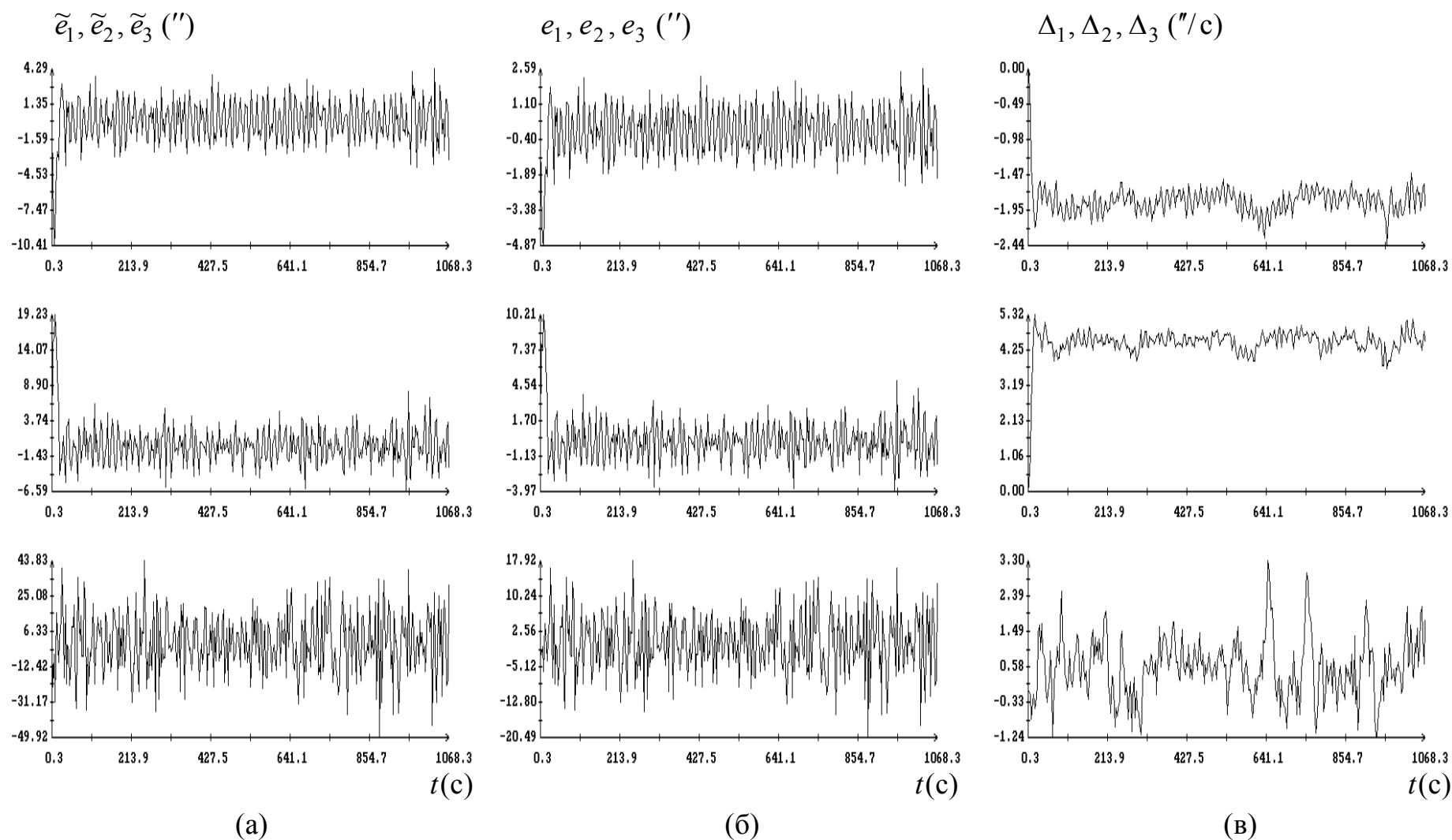


Рис. 7. Обработка данных измерений БОКЗа и ГИВУСов с помощью фильтра Калмана. Момент  $t = 0$  на графиках отвечает 13:22:09.7 UTC 27.04.2010; (а) отклонения прогноза,  $\tilde{\sigma}_1 = 1.81''$ ,  $\tilde{\sigma}_2 = 3.01''$ ,  $\tilde{\sigma}_3 = 16.2''$ ; (б) отклонения фильтрации,  $\sigma_1 = 0.97''$ ,  $\sigma_2 = 1.45''$ ,  $\sigma_3 = 6.60''$ ; (в) оценки «постоянных» смещений в измерениях угловой скорости,  $\bar{\Delta}_1 = -1.82''/c$ ,  $\bar{\Delta}_2 = 4.48''/c$ ,  $\bar{\Delta}_3 = 0.55''/c$ .

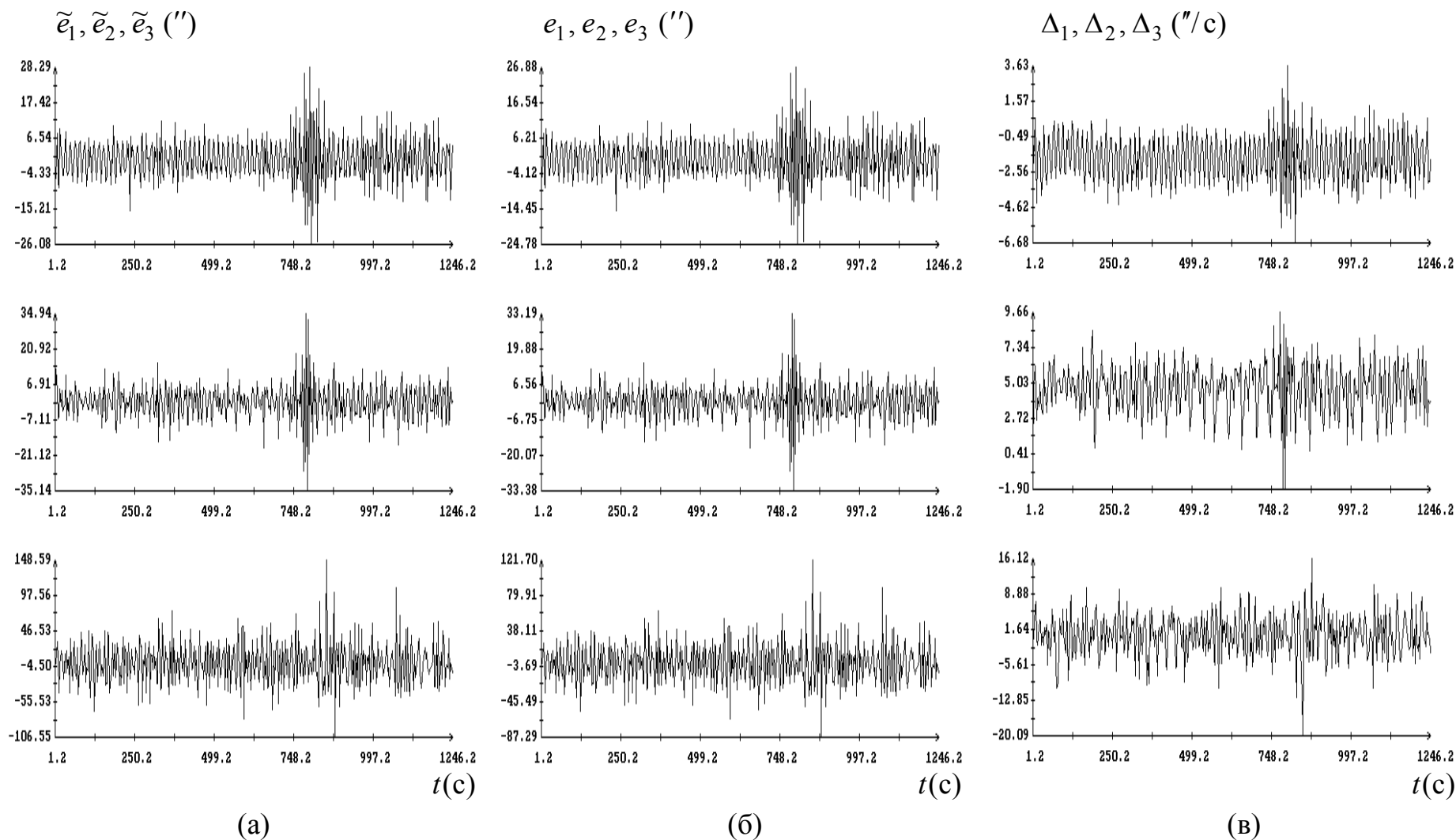


Рис. 8. Обработка данных измерений БОКЗа и ГИВУСов с помощью фильтра Калмана. Момент  $t = 0$  на графиках отвечает 14:43:30.8 UTC 27.04.2010; (а) отклонения прогноза,  $\tilde{\sigma}_1 = 6.87''$ ,  $\tilde{\sigma}_2 = 7.28''$ ,  $\tilde{\sigma}_3 = 30.9''$ ; (б) отклонения фильтрации,  $\sigma_1 = 6.55''$ ,  $\sigma_2 = 6.95''$ ,  $\sigma_3 = 25.5''$ ; (в) оценки «постоянных» смещений в измерениях угловой скорости,  $\bar{\Delta}_1 = -1.77''/c$ ,  $\bar{\Delta}_2 = 4.63''/c$ ,  $\bar{\Delta}_3 = 0.42''/c$ .

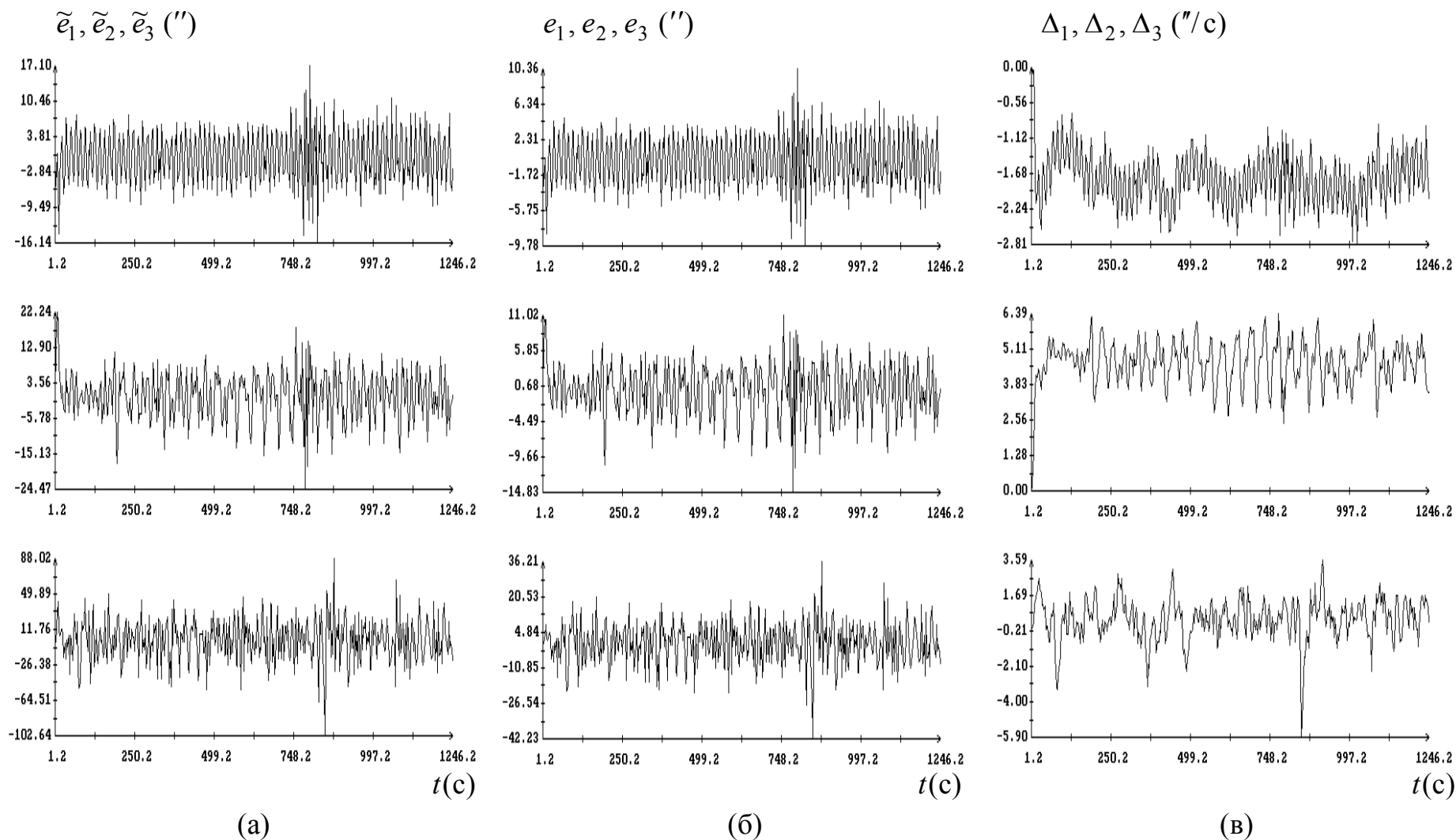


Рис. 9. Обработка данных измерений БОКЗа и ГИВУСов с помощью фильтра Калмана. Момент  $t = 0$  на графиках отвечает 14:43:30.8 UTC 27.04.2010; (а) отклонения прогноза,  $\tilde{\sigma}_1 = 4.91''$ ,  $\tilde{\sigma}_2 = 6.34''$ ,  $\tilde{\sigma}_3 = 23.0''$ ; (б) отклонения фильтрации,  $\sigma_1 = 2.96''$ ,  $\sigma_2 = 3.76''$ ,  $\sigma_3 = 9.49''$ ; (в) оценки «постоянных» смещений в измерениях угловой скорости,  $\bar{\Delta}_1 = -1.76''/с$ ,  $\bar{\Delta}_2 = 4.61''/с$ ,  $\bar{\Delta}_3 = 0.42''/с$ .

Графики оценки «постоянного» смещения  $\Delta$  в измерениях угловой скорости приведены на рис. 6в, 7в, 8в и 9в. Графики иллюстрируют поведение компонент векторов  $\Delta_{m+0.5} + \mathbf{b}_{m+\mu+0.5}^* = (\Delta_1^{(n)}, \Delta_2^{(n)}, \Delta_3^{(n)})$  в функции времени. Компоненты относятся к системе  $x_1x_2x_3$ . Графики суть ломаные, соединяющие точки  $(t_n, \Delta_i^{(n)})$  ( $n=1, 2, 3, \dots$ ) при одном из значений  $i=1, 2, 3$ . Средние значения  $\bar{\Delta}_i$  величин  $\Delta_i^{(n)}$  ( $n=1, 2, \dots$ ) указаны в подписях к рисункам. Эти средние значения хорошо согласуются с оценками параметров  $\Delta_i$ , полученными в [3].

Данная работа выполнена при частичной поддержке РФФИ (проект 11-01-00262). Авторы благодарны Г.А. Аванесову и А.Д. Беленькому за полезные обсуждения при выполнении работы.

### Литература

1. Shuster M.D. A survey of attitude representation. The Journal of the Astronautical Sciences, 1993, vol. 41, No. 4, pp. 439-517.
2. Farrenkopf R.L. Analytic steady-state accuracy solution for two common spacecraft attitude estimators. Journal of Guidance and Control, 1978, vol. 1, No. 4, p. 282-284.
3. Аванесов Г.А., Красиков В.А., Никитин А.В., Сазонов В.В. Оценка точности определения параметров ориентации осей системы координат астроизмерительного прибора БОКЗ-М по экспериментальным данным. Препринт ИПМ им. М.В. Келдыша РАН, 2010, № 74.
4. Creamer G. Spacecraft attitude determination using gyros and quaternion measurements. The Journal of the Astronautical Sciences, 1996, vol. 44, No. 3, p. 357-371.